



## 쇄설성 저어콘 U-Pb 연대 측정을 이용한 백악기 의성소분지 사암의 퇴적시기와 기원지

최태진<sup>†</sup> · 권민규

조선대학교 에너지자원공학과

### 요 약

경상분지 하양층군의 퇴적시기와 기원지의 변화를 규명하여 하양층군의 퇴적 당시 경상분지 일대의 지구조 변화를 추정하기 위하여 의성소분지 하양층군 사암들의 쇄설성 저어콘 U-Pb 연대를 측정하였다. 8개의 사암 시료에서 분리한 쇄설성 저어콘 입자로부터 2941 ~ 96 Ma의 범위를 보이는 761점의 일치연대를 얻었다. 저어콘 입자들은 주로 고원생대(2490~1694 Ma), 트라이아스기(250~203 Ma), 쥐라기(196~153 Ma), 백악기(110~96 Ma)에 생성되었으며, 일부 입자는 고생대와 신원생대, 중원생대에 생성되었다. 저어콘의 연대 분포를 통해서 점곡층, 사곡층, 반야월층의 최대퇴적시기를 각각 105, 100, 96 Ma로 제한할 수 있다. 의성소분지 하양층군 사암의 쇄설성 저어콘의 연대분포는 시간에 따라 변화하며, 후평동층과 점곡층 사이, 점곡층과 사곡층 사이에서 큰 변화를 보인다. 이러한 저어콘 연대 분포를 하부층군이자 기반암인 북부 신동층군 사암의 저어콘 연대분포와 일본의 부가복합체 및 육상분지 사암의 저어콘 연대분포와 통계적으로 비교하였다. 그 결과 점곡층의 퇴적 시기부터 본격적으로 일본으로부터의 퇴적물 공급이 있었으며, 사곡층과 춘산층이 퇴적되는 동안에는 영남육괴와 일본으로부터 영향을 받았던 것으로 추정된다. 이와 같이 일본으로부터의 퇴적물 공급은 점곡층의 퇴적 당시 경상분지 동부에 화성활동으로 인한 고지대 형성에 의한 것으로 여겨진다.

**주요어:** 경상분지, 하양층군, 퇴적물 기원지, 쇄설성 저어콘 U-Pb 연대

Taejin Choi and Min Gyu Kwon, 2019, Depositional age and provenance of the sandstones in the Cretaceous Euiseong subbasin inferred by detrital zircon U-Pb age dating. *Journal of the Geological Society of Korea*. v. 55, no. 5, p. 551-581

**ABSTRACT:** Analyses on the U-Pb ages of the detrital zircons of the Euiseong subbasin sandstones were carried out to estimate depositional period and provenance of the Hayang Group in the Gyeongsang Basin, and to infer the tectonic changes in the Gyeongsang basin. We obtained 761 concordant ages with a range of 2941 to 96 Ma from 800 zircon grains separated from eight sandstone samples. The zircons mainly consist of the Paleoproterozoic (2490 ~ 1694 Ma), Triassic (250 ~ 203 Ma), Jurassic (196 ~ 153 Ma), and Cretaceous (110 ~ 96 Ma) grains with minor Paleozoic, Neoproterozoic, and Mesoproterozoic ones. According to the zircon age distribution, the maximum depositional periods of the Jeomgok, Sagok, and Banyawol formations can be constrained to 105, 100, and 96 Ma, respectively. The detrital zircon age spectra of Euiseong subbasin vary over time and show significant changes between the Hupyeongdong and Jeomgok formations, and between the Jeomgok and Sagok formations. The zircon age distributions were statistically compared with those of the northern Shindong Group sandstones, the underlying strata and also bedrock of the Hayang Group, and those of the Japanese accretionary complex and terrestrial basin sandstones. As a result, sediment supply from Japan began during Jeomgok Formation deposition, and it was continued with that from the Yeongnam Massif during the deposition of the Sagok and Chunsan formations. Such sediment supply from Japan is supposed to be caused by the formation of highlands due to volcanic activity in the eastern part of the Gyeongsang Basin, during the Jeomgok Formation deposition.

**Key words:** Gyeongsang Basin, Hayang Group, sedimentary provenance, detrital zircon U-Pb age

(Taejin Choi and Min Gyu Kwon, Department of Energy Resources Engineering, Chosun University, Gwangju 61452, Republic of Korea)

<sup>†</sup> Corresponding author: +82-62-230-7867, E-mail: tchoi@chosun.ac.kr

## 1. 서 론

경상분지는 한반도 남동부에 분포하는 백악기 육성 퇴적분지로서, 한반도의 백악기 층서의 기준이 된다. 경상분지 퇴적물은 퇴적동시성 화성활동의 빈도에 따라서 하부로부터 신동층군, 하양층군, 유천층군으로 나뉘는데, 상부로 갈수록 화성활동이 빈번하게 일어났던 것으로 알려져 있다(Chang, 1975). 경상분지는 전기 백악기(Aptian; Lee *et al.*, 2010) 당시 고태평양판의 섭입과 관련되어 분지가 열린 것으로 추정된다. 분지가 열리고 신동층군이 쌓일 당시 경상분지는 서쪽 경계부 인근에 남북 방향으로 긴 형태로 퇴적되었으며(낙동곡분; Chang, 1987), 주로 선사지, 하성, 호소 환경에서 퇴적되었다(Choi, 1986).

반면 하양층군의 퇴적 당시에는 경상분지가 확장되어 경상도 대부분에 해당하는 크기의 퇴적분지에서 간헐적인 화성활동을 동반하여 퇴적작용이 일어났으며, 주로 하성 및 호소 환경에서 퇴적되었다(Chang, 1970, 1987). 하양층군은 세 개의 독립된 소분지로 나뉘어 퇴적되었는데, 북쪽으로부터 영양소분지, 의성소분지, 밀양소분지로 불린다. 이 세 소분지는 각각 독립적인 침강과 퇴적의 이력을 가지는 것으로 알려져 있다. 또한 신동층군은 주로 영남육괴로부터 퇴적물이 공급된 반면, 하양층군은 일본의 부가복합체로부터도 퇴적물이 공급되었다(Lee and Kim, 2005; Lee, 2009; Cough and Sohn, 2010 and references therein).

이와 같이 신동층군과 하양층군은 퇴적환경, 퇴적 당시 화성활동의 유무, 층서, 기원지 등에서 다양한 차이를 보이며, 두 층군이 쌓이는 사이에 지구조적인 변화가 있었음을 짐작할 수 있다. 따라서 이 연구에서는 두 층군의 퇴적 당시 일어난 기원지 변화와 그러한 변화가 일어난 시기를 추정하고, 당시 일어난 지구조적인 변화를 규명하기 위하여, 의성소분지의 하양층군 사암의 쇄설성 저어콘 연대측정을 수행하였다.

## 2. 지질학적 배경

하양층군은 경상분지가 동쪽으로 확장되면서 퇴적되었으며, 퇴적은 간헐적인 화산활동을 동반하며 이루어졌다(Chang, 1970, 1987). 하양층군의 퇴적 시기는 식물화석 및 화분화석에 의하여 Aptian-Albian

**Table 1.** Stratigraphy of the Hayang Group in the Euiseong and northern Milyang subbasins (after Chang, 1987, 1988; Cough and Sohn, 2010).

Hayang Group	Euiseong Subbasin	Northern Milyang subbasin
	Geoncheonri Fm.	
Chunsan Fm.	Chaeyaksan volcanics	Banyawol Fm.
	Gusandong Tuff	
Sagok Fm.	Haman Fm.	
		Hakbong volcanics
Jeomgok Fm.		Silla Conglomerate
	Hypyeongdong Fm.	Chilgok Fm.
	Iljik Fm.	

으로 추정된다(Choi, 1985, 1987; Seo, 1985). 의성소분지는 영남육괴의 선캠브리아기 변성암, 주라기 화강암과 경상분지 신동층군을 기반암으로 하며, 의성소분지 하양층군의 경계는 북쪽으로는 안동단층이며, 서쪽으로는 신동층군, 동쪽으로는 유천층군으로 구성된다. 신동층군 및 유천층군과의 경계는 각각 호수의 크기의 팽창 수축과 화산활동에 의한 비동시면으로 여겨진다(Choi, 1999).

의성소분지 퇴적층의 주요 암상은 사암, 이암, 역암 등이며 층서는 하부로부터 일직층, 후평동층, 점곡층, 사곡층, 춘산층으로 구성된다(표 1; 그림 1). 이 중 일직층 중부와 점곡층은 호수 환경, 나머지는 하성 또는 충적평야 환경에서 퇴적된 것으로 해석된다(Choi, 1986). Choi (1999)에 의해 정리된 의성소분지 퇴적층의 특징은 다음과 같다.

최하부층인 일직층은 신동층군 진주층 위에 놓이는 자색층으로 정의되며, 층후는 약 500 m로 알려져 있다. 일직층의 상부와 하부는 자색 이암 및 실트암, 세립-중립 사암이 주를 이루는 반면 중부는 흑색 세일로 구성된다. 후평동층은 약 500 m의 두께를 가지고 하부의 구미동층원과 상부의 구계동층원으로 구성되는데, 구미동층원은 역암과 이암이 호층을 이루며 역암은 방산층 화석을 함유하는 쳐어트 조각을 함유하고 있다. 반면 구계동층원은 후평동층의 대부분을 차지하며 주로 자색의 이암과 실트암으로 구성된다. 점곡층은 암회색, 흑색, 녹회색 세일과 이암으

로 구성되며, 층후는 260~900 m로 다양하며 대체로 약 400 m이다. 사암과 응회암층을 포함하며, 점곡지역에서 판상 응회암층들이 발견된다. 사곡층은 자색 이암, 실트암, 녹회색 사암이 주를 이루며, 응회질 사암이 중부에서 협재된다. 층의 두께가 250~2,000 m로 매우 다양하며, 남쪽으로 갈수록 두께가 줄어든다. 의성소분지 하양충군의 최상부층인 춘산층은 약 700 m 내외의 두께로 쌓였는데, 암회색 및 자색 이암, 실트암, 암회색 세일 및 사암으로 구성된다. 하부의 사곡층과의 사이에 구산동응회암층원이 존재하는데, 이는 약 1~5 m 두께를 가지며, 의성소분지와 밀양소분지에 걸쳐 하양충군을 남북으로 가로지르며 널리 분포하여 하양충군 층서의 중요한 건층으로 활용된다(Jeon and Sohn, 2003).

하양충군의 기원지는 하부인 신동충군과 차이를 보인다. 신동충군은 고수류 방향 연구(Chang and Kim, 1968; Koh, 1986), 암석기재학적 연구(Koh, 1974, 1986; Choi, 1986; Koh and Lee, 1993), 지화학적 연구(Lee and Lee, 2003), 석영의 음극선발광영상 및 저어콘 Zr/Hf비 연구(Lee et al., 2015), 쇄설성 저어콘 연대 측정 연구(Lee et al., 2017, 2018) 등 다양한 연구들

을 통해서, 주로 영남육괴를 구성하는 선캄브리아기 기반암, 트라이아스기 및 쥬라기 화강암으로부터 퇴적물을 공급받았고 일부는 옥천대의 변성퇴적암 등으로부터 퇴적물을 공급받은 것으로 알려져 있다. 반면 하양충군은 고수류(Chough and Sohn, 2010 and references therein), 역암에 존재하는 쳐어트 역 및 그 역에 함유된 방산층(Choi, 1999; Kamata et al., 2000; Mitsugi et al., 2001), 광물조성(Lee and Kim, 2005), 및 지화학성분(Lee and Lee, 2003; Lee, 2009) 등 다양한 증거를 통해 영남육괴에 더하여 화산암 및 일본의 부가복합체로부터의 퇴적물 공급이 있었을 것으로 추정된다.

### 3. 실험 방법

의성소분지를 구성하고 있는 일직층, 후평동층, 점곡층, 사곡층, 춘산층과 의성소분지의 경계부 인근에 분포하는 밀양소분지 퇴적층인 함안층, 반야월 층 내 사암 시료를 5 kg씩 채취하였다. 채취한 시료의 위치와 암상은 표 2에 정리되어 있다. 채취한 시료는 실험실에서 유압파쇄기, 죠 크러셔, 디스크밀

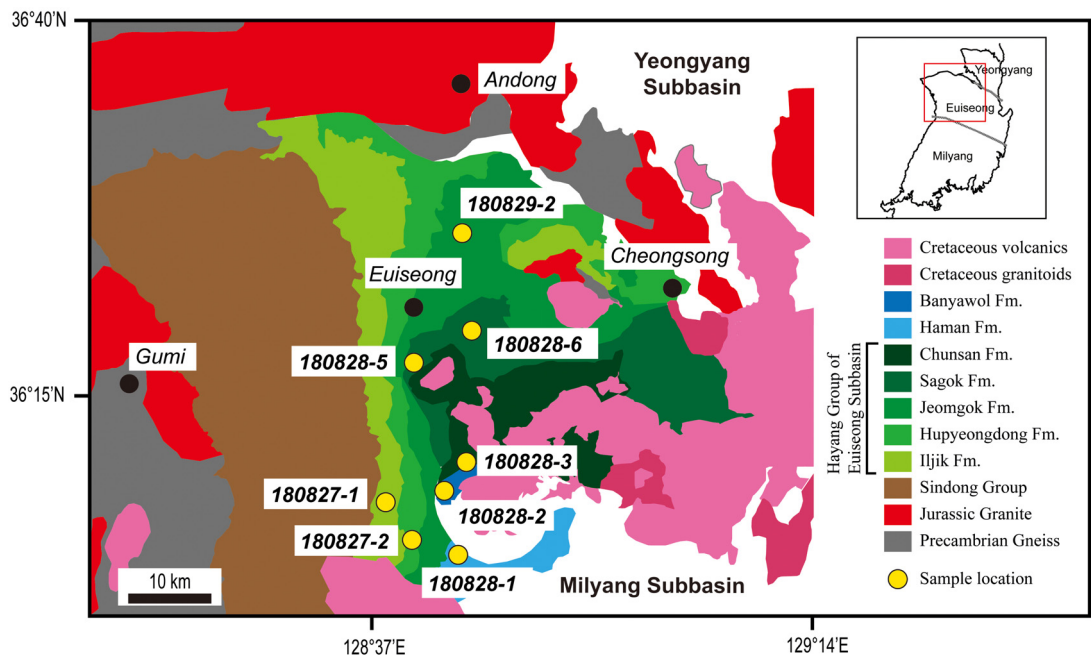


Fig. 1. Geological Map of the Euiseong subbasin (after Kim and Lee, 1970; Kim and Park, 1970; Kwon and Lee, 1973; Lee and Hong, 1973; Kim and Lim, 1974; Oh and Jeong, 1975; Chang, K.H. et al., 1977, 1978; Kim, B.G. et al., 1977, 1981; Kim, Y.G. et al., 1977; Won et al., 1980; Chang, G.H. et al., 1981; Kim, B.K. et al., 1988).

**Table 2.** Locations and lithology of the samples collected in this study.

Sample code	Location		Lithology	Formation
	Latitude	Altitude		
180827-1	N36.130442	E128.656614	dark gray coarse grained sandstone	Iljik Fm.
180827-2	N36.088231	E128.692252	gray medium-coarse grained sandstone	Hupyeongdong Fm.
180828-1	N36.071629	E128.760284	dark gray very fine grained sandstone	Haman Fm.
180828-2	N36.140121	E128.739447	greenish gray coarse grained sandstone	Banyawol Fm.
180828-3	N36.169465	E128.770904	gray medium-coarse grained sandstone	Chunsan Fm.
180828-5	N36.285347	E128.697448	dark gray coarse grained sandstone	Sagok Fm.
180828-6	N36.308999	E128.781108	gray medium-coarse grained sandstone	Sagok Fm.
180829-2	N36.415310	E128.755994	greenish gray very coarse grained sandstone	Jeomgok Fm.

을 이용해 분쇄한 후 체질을 하여 250  $\mu\text{m}$  이하의 입자들만 분리하였다. 이 후 자성 및 중액 분리 과정을 거쳐 중광물을 농집시킨 후, 실체현미경 하에서 수작업으로 저어콘 입자들을 분리하였다. 분리한 저어콘은 마운트를 제작한 후 내부구조를 확인하기 위해 CL (Cathodoluminescence) 사진을 촬영하여, 연대 측정지점을 결정하는 데 활용하였다. U-Pb연대는 한국기초과학지원연구원(KBSI)의 레이저 삭마 유도결합 플라즈마 질량분석기(Laser ablation-multi collector-inductively coupled plasma mass spectrometer; LA-ICP-MS, 모델명 Nu Plasma II/NWR193<sup>UC</sup>)를 이용하여 측정하였다. LA-ICP-MS 분석은 Lee *et al.* (2018)에 기술된 분석 조건에 따라 수행되었고, 분석된 자료는 ISOPLOT 프로그램 (Ludwig, 2008)을 이용하여 처리하였다. 퇴적암에서 분리한 저어콘 시료는 다양한 지질연대를 가지는 입자들로 구성되어 있어 Pb 소실에 대한 시기를 정확히 알 수 없기 때문에, 15% 이상의 불일치 또는 10% 이상의 역불일치를 보이는 연대는 이용하지 않았다. 저어콘의 U-Pb연대가 1,000 Ma 이상인 경우는  $^{207}\text{Pb}/^{206}\text{Pb}$  연대를, 1,000 Ma 이하인 경우는  $^{207}\text{Pb}/^{238}\text{U}$  연대를 이용하였다.

#### 4. 결과 및 해석

분석한 저어콘의 Th/U 비는 800개의 분석점 중 127개를 제외한 대부분의 분석점에서 0.1 이상의 값을 보여, 분석에 이용된 대부분의 저어콘 입자들이 화성기원(Hoskin and Black, 2000)이라는 것을 시한다. Th/U 비가 0.1 미만인 저어콘 입자들은 대부분 1.8 Ga에 생성된 암석에 포함되어 있던 것으로

추정되며 많은 경우 납손실이 일어난 것으로 생각된다. 반면, 현생이언(Phanerozoic)에 생성된 저어콘들은 0.1 미만의 비를 가지는 입자가 거의 없다. 총 800점의 레이저 분석 결과 671개의 분석 연대가 이용 가능한 결과로 판단된다(표 3; 그림 2). 분석된 저어콘의 U-Pb연대는  $96.0 \pm 0.8$  Ma에서  $2,941 \pm 2.8$  Ma 까지 광범위한 분포를 보이며, 주로 고원생대-시생대, 쥬라기, 후기 트라이아스기, 백악기 연대를 보인다. 고생대, 신원생대, 중원생대 저어콘은 소수 존재한다. 각 시료의 저어콘 연대 분포는 확률밀도분포(그림 2)와 표4에 정리되어 있다.

일직층과 후평동층은 저어콘 연대 분포가 유사하나 차이점을 보인다. 두 층 모두 전체 저어콘 입자들 중 절반 가량(49%)이 고원생대-시생대에 생성되었으며, 전기 쥬라기에 생성된 저어콘이 일직층은 27%, 후평동층은 24%로 유사한 비중을 차지한다. 반면 일직층 시료에서는 중기 쥬라기에 생성된 저어콘이 11%로 세 번째로 많은 비중을 차지하는 반면, 후평동층 시료에서는 중기 쥬라기 대신 후기 트라이아스기 저어콘이 12%의 비중을 차지하여 세 번째로 많은 연대에 해당한다.

점곡층의 저어콘 연대 분포는 하부인 일직층이나 후평동층과 다른 양상을 보인다. 점곡층은 고원생대-시생대 저어콘의 비중이 59%로 더 높아졌으며, 대신 쥬라기 저어콘의 비중이 10% 미만으로 적다. 대신 후기 트라이아스기 저어콘이 14%, 전기 백악기 저어콘이 11%를 차지한다.

사곡층과 춘산층은 중기 쥬라기 저어콘이 많은 것이 특징이다. 두 층 시료 모두 고원생대-시생대 저어콘의 비중은 각각 25%와 22%로 하부 층들보다 적

**Table 3.** Detrital zircon U-Pb ages of the Hayang Group sandstones in the Euiseong and northern Milyang subbasins.

Sample Name	Th/U	$^{207}\text{Pb}/^{235}\text{U}$	2σ	$^{206}\text{Pb}/^{238}\text{U}$	2σ	$^{207}\text{Pb}/^{206}\text{Pb}$	2σ	$^{235}\text{U}-^{207}\text{Pb}$ age (Ma)	2σ	$^{238}\text{U}-^{206}\text{Pb}$ age (Ma)	2σ	$^{207}\text{Pb}-^{206}\text{Pb}$ age (Ma)	2σ	Disc. (%)	
<b>Ijik Fm. (180827-1; n=100)</b>															
180827-1-59	0.06	0.183	0.003	0.0266	0.0001	0.0494	0.0007	170.1	2.3	169.4	0.83	179	17	1.4	
180827-1-82	0.09	0.182	0.002	0.0268	0.0002	0.0491	0.0004	170.1	1.4	170.27	0.97	158	11	1.3	
180827-1-18	0.20	0.183	0.002	0.0268	0.0002	0.0494	0.0006	170.2	1.9	170.7	1	178	16	1.4	
180827-1-50	0.59	0.187	0.006	0.0269	0.0002	0.0504	0.0014	174.8	4.9	171.2	1.2	226	29	1.5	
180827-1-42	0.17	0.185	0.004	0.0269	0.0002	0.0495	0.0008	172.7	3	171.3	1	176	20	1.5	
180827-1-19	0.25	0.186	0.002	0.0271	0.0002	0.0495	0.0005	173.1	1.6	172.1	1.1	173	12	1.0	
180827-1-58	0.11	0.186	0.003	0.0271	0.0002	0.0497	0.0008	173.1	2.5	172.5	1.2	202	20	1.8	
180827-1-97	0.21	0.187	0.002	0.0272	0.0002	0.0501	0.0005	173.7	1.9	173	1.4	204	14	1.5	
180827-1-11	0.15	0.190	0.002	0.0278	0.0002	0.0496	0.0005	176.6	1.7	176.8	1	184	14	1.4	
180827-1-29	0.49	0.198	0.007	0.0285	0.0002	0.0508	0.0017	184	5.5	180.8	1.5	267	35	2.1	
180827-1-38	0.52	0.205	0.007	0.0290	0.0003	0.0511	0.0017	189.6	5.7	184.2	1.6	279	27	1.0	
180827-1-67	0.47	0.205	0.005	0.0299	0.0002	0.0507	0.0013	189.3	4.5	189.7	1.2	261	30	2.8	
180827-1-85	0.65	0.208	0.006	0.0299	0.0002	0.0506	0.0013	191.8	4.6	189.8	1.1	288	32	1.9	
180827-1-98	0.32	0.206	0.004	0.0299	0.0003	0.0497	0.0010	190.1	3.5	189.9	1.8	209	24	2.7	
180827-1-21	0.45	0.209	0.007	0.0300	0.0002	0.0503	0.0015	191.8	5.7	190.6	1.4	290	30	3.1	
180827-1-83	0.30	0.206	0.005	0.0300	0.0002	0.0497	0.0012	190.1	4.2	190.8	1.2	222	25	2.5	
180827-1-35	0.34	0.210	0.005	0.0302	0.0002	0.0503	0.0011	193.4	3.8	191.6	1.2	218	24	1.7	
180827-1-64	0.66	0.209	0.005	0.0302	0.0002	0.0504	0.0013	192.1	4.5	191.6	1.2	252	27	2.7	
180827-1-71	0.52	0.203	0.009	0.0304	0.0002	0.0489	0.0022	189	7.7	192.9	1.4	332	45	2.8	
180827-1-96	0.50	0.214	0.009	0.0304	0.0003	0.0517	0.0021	197.3	7.4	193.2	1.8	343	43	2.6	
180827-1-99	0.59	0.214	0.006	0.0305	0.0006	0.0520	0.0013	196.9	5.2	193.4	3.5	291	29	2.7	
180827-1-3	0.54	0.213	0.004	0.0305	0.0002	0.0503	0.0010	196.1	3.6	193.7	1.3	246	20	1.3	
180827-1-66	0.36	0.211	0.004	0.0306	0.0002	0.0501	0.0008	194.6	3	194.3	1.1	196	19	2.0	
180827-1-5	0.73	0.212	0.006	0.0306	0.0003	0.0496	0.0014	195.3	5.1	194.5	1.5	193	34	3.0	
180827-1-74	0.55	0.215	0.009	0.0307	0.0002	0.0516	0.0022	196.8	7.8	194.7	1.2	362	44	3.5	
180827-1-63	0.31	0.215	0.007	0.0307	0.0002	0.0512	0.0017	198.4	6.2	194.8	1.4	331	42	2.1	
180827-1-34	0.84	0.212	0.008	0.0309	0.0003	0.0493	0.0019	194.3	7	196.4	1.6	302	53	3.3	
180827-1-28	0.49	0.259	0.067	0.0330	0.0011	0.0500	0.0150	214	56	209.4	6.8	1000	180	27.8	
180827-1-32	0.66	0.234	0.009	0.0339	0.0003	0.0506	0.0019	212.9	7.7	214.6	2.1	275	40	3.8	
180827-1-14	0.46	0.261	0.003	0.0371	0.0002	0.0512	0.0005	235.6	2.5	234.7	1.5	250	11	1.3	
180827-1-41	0.35	0.259	0.023	0.0393	0.0005	0.0482	0.0043	232	18	248.4	3	286	99	2.0	
180827-1-13	0.38	0.279	0.009	0.0399	0.0003	0.0510	0.0016	249.2	7.4	252.3	2	246	40	2.5	
180827-1-46	0.14	0.285	0.005	0.0400	0.0004	0.0515	0.0008	254.6	3.9	252.9	2.6	271	19	1.9	
180827-1-62	0.28	0.285	0.003	0.0401	0.0002	0.0519	0.0005	254.4	2.2	253.6	1.2	273	13	1.0	
180827-1-56	0.25	0.331	0.013	0.0451	0.0004	0.0528	0.0022	289	10	284.5	2.2	402	45	2.7	
180827-1-10	0.76	0.508	0.008	0.0669	0.0005	0.0550	0.0008	416.5	5.5	417.5	2.9	397	20	1.8	
180827-1-36	0.17	0.626	0.008	0.0793	0.0005	0.0572	0.0006	493.2	5.1	491.7	2.9	497	11	1.3	
180827-1-70	0.03	1.840	0.010	0.1336	0.0006	0.1012	0.0003	1059.5	3.4	808.3	3.5	1646.1	3.4	-30.2	
180827-1-15	0.09	2.335	0.022	0.1556	0.0014	0.1096	0.0004	1222.7	6.8	932	7.7	1791.3	6	-29.6	
180827-1-22	0.11	2.366	0.015	0.1602	0.0010	0.1070	0.0003	1232.2	4.6	957.8	5.5	1751.3	3.8	-27.6	
180827-1-23	0.05	2.750	0.048	0.1848	0.0030	0.1079	0.0003	1345	14	1095	17	1766.6	3.5	-59.5	
180827-1-48	0.05	2.794	0.034	0.1884	0.0021	0.1079	0.0003	1353.9	8.9	1113	11	1762.7	2.7	-57.1	
180827-1-49	0.05	2.852	0.074	0.1890	0.0040	0.1084	0.0008	1365	20	1115	22	1769	13	-55.5	
180827-1-72	0.10	2.903	0.065	0.1965	0.0040	0.1093	0.0004	1385	17	1156	22	1786	5	-52.2	
180827-1-68	0.22	2.904	0.038	0.2033	0.0021	0.1021	0.0005	1382.5	9.9	1193	11	1665.7	5.6	-38.2	

**Table 3.** continued.

Sample Name	Th/U	$^{207}\text{Pb} / ^{235}\text{U}$	$2\sigma$	$^{206}\text{Pb} / ^{238}\text{U}$	$2\sigma$	$^{207}\text{Pb} / ^{206}\text{Pb}$	$2\sigma$	$^{235}\text{U}-^{207}\text{Pb}$ age (Ma)	$2\sigma$	$^{238}\text{U}-^{206}\text{Pb}$ age (Ma)	$2\sigma$	$^{207}\text{Pb}-^{206}\text{Pb}$ age (Ma)	$2\sigma$	Disc. (%)
180827-1-86	0.08	3.208	0.065	0.2099	0.0037	0.1099	0.0004	1456	16	1228	19	1797.7	4.1	-44.5
180827-1-12	0.02	3.265	0.058	0.2146	0.0035	0.1111	0.0006	1473	14	1253	19	1816	5.7	-43.0
180827-1-1	0.28	3.216	0.023	0.2154	0.0015	0.1078	0.0002	1461.2	5.6	1257.4	7.9	1761.6	2.1	-39.3
180827-1-57	0.06	3.461	0.056	0.2207	0.0031	0.1126	0.0004	1518	13	1285	16	1843.5	4.2	-41.9
180827-1-30	0.24	3.885	0.089	0.2352	0.0051	0.1210	0.0004	1610	19	1361	26	1967.2	4	-42.3
180827-1-39	0.32	4.360	0.120	0.2409	0.0039	0.1301	0.0020	1703	23	1391	21	2104	26	-47.9
180827-1-77	0.14	3.686	0.078	0.2421	0.0047	0.1115	0.0004	1564	17	1396	24	1822	3.8	-28.5
180827-1-94	0.43	3.685	0.049	0.2420	0.0026	0.1120	0.0011	1568	11	1397	14	1833.7	8.2	-29.7
180827-1-16	0.00	3.823	0.027	0.2458	0.0016	0.1128	0.0002	1597.2	5.6	1416.8	8.2	1846.6	2.1	-29.6
180827-1-69	0.14	3.742	0.055	0.2507	0.0035	0.1110	0.0004	1579	12	1442	18	1811.8	5	-24.0
180827-1-52	0.10	4.041	0.049	0.2627	0.0028	0.1121	0.0004	1641.5	9.8	1503	14	1830.8	3.3	-20.7
180827-1-61	0.05	4.068	0.022	0.2633	0.0014	0.1123	0.0002	1648	4.5	1507.7	7.4	1836.7	2.4	-21.2
180827-1-40	0.11	4.403	0.047	0.2813	0.0027	0.1131	0.0003	1712	8.8	1598	14	1850.2	3	-14.7
180827-1-60	0.06	4.795	0.075	0.2841	0.0039	0.1220	0.0005	1783	13	1613	19	1986.6	5.2	-21.7
180827-1-88	0.13	4.470	0.066	0.2879	0.0043	0.1140	0.0003	1724	12	1630	21	1866.8	3.6	-13.0
180827-1-75	0.24	4.372	0.035	0.2914	0.0023	0.1122	0.0006	1708.2	6.4	1648	11	1835.8	4.6	-10.4
180827-1-33	0.60	4.577	0.037	0.2949	0.0021	0.1128	0.0004	1745	6.8	1666	11	1847.8	4.1	-10.0
180827-1-17	0.10	4.594	0.058	0.2985	0.0039	0.1122	0.0004	1748	11	1684	19	1837.5	5.2	-7.7
180827-1-87	0.26	5.980	0.120	0.3038	0.0056	0.1450	0.0008	1975	19	1710	28	2289.4	7.1	-31.8
180827-1-24	0.03	4.719	0.068	0.3063	0.0047	0.1119	0.0003	1770	12	1722	23	1831.1	2.2	-4.9
180827-1-37	0.78	4.849	0.052	0.3064	0.0034	0.1150	0.0011	1793.2	9	1723	17	1883.8	6.1	-8.0
180827-1-6	0.17	4.738	0.093	0.3074	0.0058	0.1115	0.0007	1773	17	1728	28	1823.4	4.8	-3.6
180827-1-44	0.01	4.738	0.042	0.3092	0.0028	0.1110	0.0005	1773.7	7.5	1737	14	1817.8	4.7	-3.6
180827-1-26	0.63	4.899	0.067	0.3122	0.0039	0.1146	0.0008	1802	11	1751	19	1873.6	5.7	-5.6
180827-1-25	0.07	5.187	0.094	0.3190	0.0059	0.1184	0.0009	1850	16	1785	29	1932.7	9.1	-6.1
180827-1-84	0.44	4.850	0.130	0.3190	0.0084	0.1125	0.0025	1793	23	1785	41	1845	19	0.0
180827-1-89	0.13	4.900	0.130	0.3198	0.0095	0.1121	0.0005	1801	22	1788	46	1836	5.4	0.2
180827-1-51	0.21	4.878	0.090	0.3201	0.0058	0.1128	0.0008	1805	19	1790	28	1851.8	9	-1.4
180827-1-73	0.30	4.909	0.038	0.3231	0.0023	0.1134	0.0006	1803.5	6.6	1805	11	1852.1	5.5	-1.7
180827-1-93	0.35	4.972	0.077	0.3246	0.0048	0.1137	0.0006	1814	13	1812	24	1861	6.3	-1.0
180827-1-79	0.11	5.030	0.120	0.3250	0.0057	0.1131	0.0010	1823	21	1814	28	1848.2	4.7	-0.1
180827-1-45	0.42	5.014	0.090	0.3254	0.0056	0.1118	0.0006	1821	15	1816	27	1836	9.1	0.9
180827-1-8	0.49	5.070	0.150	0.3253	0.0076	0.1127	0.0016	1831	24	1816	37	1842	17	1.5
180827-1-91	0.64	5.076	0.075	0.3283	0.0049	0.1146	0.0010	1837	13	1830	24	1866.2	7.9	-0.2
180827-1-9	0.50	5.167	0.064	0.3291	0.0048	0.1138	0.0012	1847	11	1834	23	1860.4	7.9	0.2
180827-1-43	0.03	5.107	0.058	0.3294	0.0037	0.1130	0.0002	1838	10	1835	18	1848.9	2.1	0.3
180827-1-54	0.17	5.100	0.072	0.3295	0.0053	0.1131	0.0003	1836	12	1836	26	1849.4	5.8	1.0
180827-1-47	0.24	5.117	0.083	0.3298	0.0050	0.1136	0.0006	1842	15	1837	24	1857.5	4.9	0.5
180827-1-95	0.17	5.150	0.072	0.3304	0.0049	0.1143	0.0006	1844	12	1840	24	1866.4	3.9	0.1
180827-1-7	0.27	5.183	0.075	0.3312	0.0047	0.1130	0.0007	1850	12	1844	23	1846.8	4.1	1.3
180827-1-2	0.28	5.199	0.043	0.3326	0.0027	0.1126	0.0002	1852.9	7.1	1851	13	1840.8	2.1	0.3
180827-1-55	0.01	5.227	0.052	0.3334	0.0036	0.1149	0.0003	1856.8	8.4	1855	18	1877.7	2.9	-0.1
180827-1-65	0.03	5.314	0.097	0.3356	0.0060	0.1131	0.0004	1871	16	1865	29	1850.4	3.1	0.9
180827-1-4	0.03	5.300	0.033	0.3357	0.0019	0.1134	0.0004	1868.9	5.4	1865.8	9.1	1854.2	4.3	0.1
180827-1-90	0.27	5.328	0.039	0.3372	0.0020	0.1145	0.0005	1873.4	6.2	1872.8	9.5	1870.1	4.3	0.6
180827-1-27	0.40	5.408	0.059	0.3397	0.0037	0.1159	0.0006	1885.8	9.4	1885	18	1896.8	6	0.6

**Table 3.** continued.

Sample Name	Th/U	$^{207}\text{Pb} / ^{235}\text{U}$	2 $\sigma$	$^{206}\text{Pb} / ^{238}\text{U}$	2 $\sigma$	$^{207}\text{Pb} / ^{206}\text{Pb}$	2 $\sigma$	$^{235}\text{U}-^{207}\text{Pb}$ age (Ma)	2 $\sigma$	$^{238}\text{U}-^{206}\text{Pb}$ age (Ma)	2 $\sigma$	$^{207}\text{Pb}-^{206}\text{Pb}$ age (Ma)	2 $\sigma$	Disc. (%)
180827-1-20	0.00	5.670	0.130	0.3464	0.0079	0.1180	0.0008	1926	20	1917	38	1929	12	2.0
180827-1-81	0.41	5.986	0.042	0.3581	0.0023	0.1194	0.0004	1973.4	6.1	1973	11	1950.1	3.9	-0.4
180827-1-100	0.43	6.017	0.060	0.3589	0.0037	0.1234	0.0002	1978.1	8.6	1977	18	2004.6	2.3	-0.4
180827-1-80	0.27	6.027	0.031	0.3597	0.0016	0.1218	0.0003	1979.5	4.5	1981.6	7.6	1982.1	2.1	0.5
180827-1-76	0.35	6.132	0.068	0.3620	0.0033	0.1253	0.0008	1994.9	9.8	1993	16	2033.2	6.7	-0.9
180827-1-31	0.42	7.524	0.063	0.3727	0.0024	0.1467	0.0005	2175.1	7.5	2042	11	2309	4.2	-12.3
180827-1-92	0.53	8.031	0.063	0.4142	0.0029	0.1417	0.0005	2234.6	6.9	2234	13	2249.1	3.9	0.1
180827-1-53	0.42	10.610	0.130	0.4167	0.0045	0.1872	0.0010	2491	12	2245	20	2715.6	6	-19.8
180827-1-78	1.13	10.620	0.070	0.4708	0.0032	0.1659	0.0007	2490	6.1	2487	14	2517.4	4.3	-0.5
<b>Hupyeongdong Fm. (180827-2; n=100)</b>														
180827-2-89	0.85	0.110	0.006	0.0172	0.0002	0.0465	0.0027	105.3	5.9	110	1.1	240	47	2.2
180827-2-73	0.58	0.176	0.005	0.0260	0.0001	0.0495	0.0013	164.8	3.9	165.16	0.89	188	33	2.7
180827-2-97	0.40	0.179	0.003	0.0262	0.0002	0.0495	0.0008	166.9	2.6	166.4	1.2	186	17	2.0
180827-2-3	0.45	0.185	0.005	0.0267	0.0002	0.0508	0.0012	171.9	4	169.8	1.2	268	26	1.8
180827-2-80	346.62	0.273	0.006	0.0268	0.0002	0.0743	0.0015	245.9	4.5	170.5	1.1	1044	29	-40.9
180827-2-44	0.65	0.193	0.007	0.0281	0.0002	0.0497	0.0016	178.8	5.6	178.6	1.5	260	42	3.9
180827-2-70	1.19	0.199	0.003	0.0290	0.0001	0.0500	0.0007	184.4	2.4	184.49	0.8	199	20	1.7
180827-2-58	0.58	0.199	0.003	0.0292	0.0001	0.0493	0.0006	183.9	2.2	185.78	0.87	169	15	0.6
180827-2-78	0.41	0.204	0.002	0.0297	0.0001	0.0506	0.0003	188.6	1.3	188.5	0.79	217.9	9.6	1.1
180827-2-25	0.43	0.205	0.017	0.0297	0.0004	0.0495	0.0043	189	15	188.8	2.3	310	75	9.1
180827-2-35	0.60	0.203	0.013	0.0298	0.0004	0.0486	0.0031	187	11	189.2	2.6	277	54	6.1
180827-2-15	0.63	0.200	0.015	0.0298	0.0004	0.0487	0.0038	186	13	189.5	2.5	353	71	6.5
180827-2-90	0.58	0.199	0.012	0.0299	0.0004	0.0480	0.0030	183	10	189.6	2.2	216	44	3.1
180827-2-21	0.76	0.203	0.016	0.0300	0.0004	0.0483	0.0039	186	14	190.3	2.4	410	79	6.5
180827-2-47	0.72	0.208	0.005	0.0300	0.0005	0.0506	0.0009	191.8	4.3	190.4	2.8	238	26	3.0
180827-2-65	0.45	0.207	0.003	0.0302	0.0002	0.0499	0.0007	191	2.4	191.56	0.92	192	19	1.4
180827-2-5	0.64	0.211	0.013	0.0302	0.0005	0.0515	0.0032	194	11	191.6	3.2	300	62	6.2
180827-2-62	0.43	0.209	0.010	0.0302	0.0003	0.0497	0.0023	192.8	8.6	191.7	1.7	298	48	4.8
180827-2-18	0.55	0.210	0.022	0.0304	0.0006	0.0508	0.0055	192	18	192.8	3.7	530	110	10.9
180827-2-4	0.36	0.207	0.020	0.0304	0.0004	0.0498	0.0049	188	17	192.9	2.8	491	87	7.9
180827-2-51	0.38	0.212	0.004	0.0305	0.0002	0.0500	0.0010	195	3.6	193.39	0.99	224	25	1.5
180827-2-87	0.53	0.215	0.010	0.0305	0.0003	0.0513	0.0025	197.5	8.5	193.9	1.7	384	54	3.4
180827-2-95	0.50	0.204	0.017	0.0309	0.0003	0.0473	0.0040	191	14	196.2	2	443	70	5.7
180827-2-1	0.45	0.214	0.004	0.0311	0.0003	0.0503	0.0008	197.2	3.1	197.2	1.5	198	18	2.3
180827-2-64	0.16	0.210	0.008	0.0312	0.0007	0.0493	0.0016	193.2	6.3	198.2	4.3	183	22	2.9
180827-2-68	0.67	0.234	0.027	0.0315	0.0008	0.0549	0.0065	218	23	199.6	4.7	520	140	4.7
180827-2-9	0.48	0.231	0.007	0.0330	0.0003	0.0507	0.0016	210.5	5.6	209.1	1.6	311	41	2.8
180827-2-10	0.43	0.248	0.017	0.0342	0.0004	0.0533	0.0036	226	14	217	2.3	528	56	3.4
180827-2-32	0.64	0.235	0.005	0.0343	0.0003	0.0499	0.0010	214.9	4.2	217.3	1.8	216	27	1.7
180827-2-33	0.67	0.244	0.007	0.0345	0.0003	0.0513	0.0016	221.2	6.1	218.5	1.6	265	33	2.3
180827-2-2	1.29	0.236	0.016	0.0346	0.0004	0.0495	0.0035	215	13	219.4	2.6	451	71	5.2
180827-2-12	0.44	0.247	0.009	0.0348	0.0003	0.0512	0.0017	224.4	7	220.7	2.1	277	39	2.4
180827-2-94	0.95	0.247	0.005	0.0351	0.0002	0.0502	0.0008	224.1	3.8	222.1	1.3	216	23	1.4
180827-2-16	0.65	0.246	0.007	0.0351	0.0003	0.0503	0.0014	222.9	5.5	222.6	2	266	36	3.2
180827-2-76	0.65	0.249	0.007	0.0352	0.0002	0.0511	0.0015	225.1	5.8	222.8	1.4	296	34	2.2

**Table 3.** continued.

Sample Name	Th/U	$^{207}\text{Pb} / ^{235}\text{U}$	$2\sigma$	$^{206}\text{Pb} / ^{238}\text{U}$	$2\sigma$	$^{207}\text{Pb} / ^{206}\text{Pb}$	$2\sigma$	$^{235}\text{U}-^{207}\text{Pb}$ age (Ma)	$2\sigma$	$^{238}\text{U}-^{206}\text{Pb}$ age (Ma)	$2\sigma$	$^{207}\text{Pb}-^{206}\text{Pb}$ age (Ma)	$2\sigma$	Disc. (%)
180827-2-69	0.69	0.257	0.003	0.0365	0.0002	0.0511	0.0006	232.5	2.8	231.1	1.1	239	18	1.1
180827-2-75	0.04	0.256	0.003	0.0366	0.0002	0.0512	0.0004	231.6	1.9	232	1	252	10	1.1
180827-2-63	1.20	0.283	0.088	0.0367	0.0016	0.0590	0.0190	222	81	232	9.8	1530	170	36.4
180827-2-46	0.47	0.269	0.003	0.0383	0.0003	0.0510	0.0006	242.1	2.6	242.2	1.6	242	15	1.7
180827-2-57	0.58	0.273	0.006	0.0386	0.0002	0.0517	0.0010	245.5	4.2	244.2	1.3	275	27	1.7
180827-2-60	0.61	0.287	0.011	0.0400	0.0003	0.0524	0.0021	257.1	9.2	252.6	1.8	370	38	2.6
180827-2-26	0.48	0.285	0.009	0.0402	0.0005	0.0512	0.0017	253.9	7.3	253.7	2.9	254	37	3.9
180827-2-23	0.46	0.285	0.012	0.0402	0.0004	0.0521	0.0020	254	9.6	253.8	2.2	301	44	4.6
180827-2-13	0.53	0.287	0.008	0.0402	0.0003	0.0518	0.0015	255.2	6.5	253.9	2.1	305	30	2.9
180827-2-36	0.48	0.253	0.066	0.0406	0.0012	0.0550	0.0130	259	57	256.2	7.5	1220	150	24.1
180827-2-28	0.57	0.316	0.013	0.0443	0.0004	0.0521	0.0022	278	10	279.4	2.4	366	47	4.0
180827-2-67	0.01	0.614	0.004	0.0783	0.0004	0.0564	0.0003	486.3	2.5	485.7	2.6	472.8	5	0.9
180827-2-7	0.40	1.581	0.015	0.1611	0.0012	0.0716	0.0005	963.2	5.9	962.8	6.5	971.8	7.8	1.2
180827-2-14	0.19	2.521	0.055	0.1689	0.0033	0.1083	0.0009	1278	16	1006	18	1765.2	7.4	-72.9
180827-2-38	0.26	2.847	0.037	0.1853	0.0025	0.1112	0.0009	1367.8	9.6	1096	14	1818.6	7.6	-64.0
180827-2-8	0.04	2.861	0.030	0.1942	0.0018	0.1086	0.0006	1371.5	8	1145.9	9.3	1775.7	6.6	-53.6
180827-2-86	0.53	4.076	0.053	0.2623	0.0022	0.1114	0.0008	1651	10	1502	11	1827.7	6.1	-20.5
180827-2-74	0.04	4.627	0.055	0.2924	0.0035	0.1140	0.0004	1753.9	9.9	1658	19	1865	3.4	-11.1
180827-2-98	0.52	4.703	0.079	0.3030	0.0044	0.1128	0.0006	1767	14	1706	22	1844.3	5.9	-6.5
180827-2-17	0.25	4.710	0.110	0.3041	0.0071	0.1121	0.0010	1767	20	1711	35	1840	13	-4.7
180827-2-85	0.05	4.846	0.049	0.3059	0.0023	0.1137	0.0003	1792.4	8.4	1720	11	1858.6	3.2	-7.2
180827-2-56	0.14	4.660	0.140	0.3123	0.0090	0.1108	0.0006	1760	26	1752	44	1815.6	3.6	-0.9
180827-2-99	0.52	5.007	0.095	0.3130	0.0050	0.1132	0.0005	1820	16	1755	24	1850.3	4.8	-3.8
180827-2-92	0.35	5.060	0.065	0.3140	0.0031	0.1146	0.0007	1829	11	1760	15	1872.7	5.6	-5.2
180827-2-59	0.49	4.911	0.054	0.3227	0.0029	0.1117	0.0008	1803.9	9.3	1803	14	1828.4	6.6	-0.3
180827-2-37	0.10	4.994	0.074	0.3231	0.0052	0.1150	0.0006	1822	14	1805	25	1882.4	3.6	-2.7
180827-2-31	0.14	4.998	0.077	0.3252	0.0043	0.1148	0.0009	1822	14	1815	21	1875.3	7.4	-1.8
180827-2-43	0.10	5.002	0.055	0.3255	0.0039	0.1141	0.0004	1819.4	9.2	1817	19	1866.8	3.6	-1.5
180827-2-45	0.32	5.033	0.077	0.3265	0.0045	0.1140	0.0006	1825	13	1821	22	1863.7	5.6	-0.8
180827-2-50	0.55	5.038	0.045	0.3267	0.0024	0.1119	0.0007	1825.9	7.6	1822	11	1831.2	5.7	0.4
180827-2-42	0.58	5.086	0.033	0.3266	0.0021	0.1130	0.0004	1833.3	5.4	1823	10	1849.3	3.1	-0.7
180827-2-29	0.55	5.076	0.071	0.3282	0.0042	0.1139	0.0009	1831	12	1829	21	1862.8	7.7	-0.3
180827-2-34	0.22	5.142	0.065	0.3297	0.0037	0.1152	0.0007	1842	11	1837	18	1878	7.3	-0.9
180827-2-93	0.51	5.118	0.039	0.3298	0.0021	0.1140	0.0004	1838.9	6.4	1837	10	1863.3	3.5	-0.7
180827-2-53	0.06	5.119	0.033	0.3300	0.0015	0.1131	0.0003	1840.2	5.2	1838.5	7.2	1848.8	2.5	0.0
180827-2-81	0.06	5.154	0.056	0.3312	0.0035	0.1138	0.0004	1844.6	9.3	1844	17	1862.1	3.3	0.1
180827-2-83	0.28	5.178	0.032	0.3322	0.0018	0.1132	0.0002	1848.6	5.3	1848.7	8.6	1850.3	2.2	0.5
180827-2-100	0.30	5.178	0.093	0.3324	0.0058	0.1138	0.0014	1848	15	1850	28	1860	11	1.6
180827-2-19	0.38	5.193	0.071	0.3328	0.0041	0.1149	0.0007	1851	12	1852	20	1880.5	4.8	-0.2
180827-2-96	0.08	5.234	0.059	0.3331	0.0043	0.1149	0.0004	1861	11	1853	21	1875.9	4.6	0.1
180827-2-72	0.65	5.224	0.077	0.3330	0.0040	0.1145	0.0009	1856	13	1853	20	1872.5	9.8	0.6
180827-2-84	0.12	5.233	0.032	0.3340	0.0020	0.1147	0.0003	1858.3	5.3	1857.5	9.8	1873.9	2.8	-0.2
180827-2-88	0.16	5.236	0.039	0.3343	0.0021	0.1151	0.0003	1858.2	6.3	1859	10	1878.8	3	-0.4
180827-2-39	0.07	5.301	0.055	0.3359	0.0035	0.1155	0.0004	1868.4	8.8	1867	17	1889.1	4.4	0.0
180827-2-49	0.03	5.322	0.057	0.3363	0.0041	0.1170	0.0003	1872	9.1	1869	20	1910.2	2.4	-1.0
180827-2-54	0.18	5.370	0.100	0.3371	0.0062	0.1165	0.0008	1880	16	1873	30	1905.3	6.2	0.2

**Table 3.** continued.

Sample Name	Th/U	$^{207}\text{Pb} / ^{235}\text{U}$	2 $\sigma$	$^{206}\text{Pb} / ^{238}\text{U}$	2 $\sigma$	$^{207}\text{Pb} / ^{206}\text{Pb}$	2 $\sigma$	$^{235}\text{U}-^{207}\text{Pb}$ age (Ma)	2 $\sigma$	$^{238}\text{U}-^{206}\text{Pb}$ age (Ma)	2 $\sigma$	$^{207}\text{Pb}-^{206}\text{Pb}$ age (Ma)	2 $\sigma$	Disc. (%)
180827-2-55	0.16	5.343	0.031	0.3375	0.0017	0.1146	0.0003	1875.6	4.9	1874.3	8.3	1874.9	2.8	0.6
180827-2-22	0.01	5.334	0.049	0.3377	0.0033	0.1153	0.0002	1874.6	7.6	1875	16	1885	2.3	0.4
180827-2-40	0.23	5.345	0.036	0.3377	0.0022	0.1145	0.0003	1875.7	5.7	1876	10	1873.5	2.6	0.5
180827-2-82	0.33	5.358	0.033	0.3380	0.0021	0.1148	0.0003	1877.8	5.2	1877	10	1880.2	3.1	0.5
180827-2-6	0.20	5.338	0.041	0.3382	0.0026	0.1156	0.0004	1874.7	6.5	1878	12	1887.7	3.1	0.3
180827-2-41	0.11	5.363	0.045	0.3381	0.0029	0.1143	0.0004	1878.8	7.2	1878	14	1870.6	4.6	0.6
180827-2-66	0.23	5.369	0.051	0.3387	0.0033	0.1141	0.0004	1879.9	8.2	1880	16	1867.5	3.4	0.4
180827-2-20	0.56	7.306	0.092	0.3392	0.0047	0.1592	0.0009	2152	12	1883	23	2448.8	5.7	-28.5
180827-2-11	0.47	5.442	0.053	0.3408	0.0032	0.1170	0.0006	1891.9	8.4	1890	15	1909.6	4.9	0.0
180827-2-30	0.39	5.434	0.047	0.3407	0.0028	0.1160	0.0004	1890.2	7.2	1890	13	1897.1	3.4	0.5
180827-2-71	0.11	5.426	0.031	0.3405	0.0019	0.1150	0.0002	1888.8	4.9	1890.4	9.5	1879.7	1.5	0.0
180827-2-61	0.23	5.436	0.040	0.3410	0.0025	0.1141	0.0005	1890.3	6.2	1891	12	1866.2	4.3	-0.5
180827-2-27	0.28	5.532	0.080	0.3425	0.0049	0.1194	0.0006	1905	12	1898	23	1946.7	4.3	-1.1
180827-2-77	0.15	5.646	0.061	0.3471	0.0051	0.1166	0.0007	1923	9.4	1921	25	1908.3	4.8	0.9
180827-2-52	0.47	7.975	0.080	0.3766	0.0030	0.1518	0.0004	2229.6	9.4	2060	14	2366	3.2	-14.0
180827-2-91	0.33	7.220	0.120	0.3932	0.0055	0.1356	0.0009	2141	16	2137	25	2167.5	7.9	0.1
180827-2-79	0.51	9.560	0.130	0.4500	0.0031	0.1563	0.0017	2393	13	2395	14	2419	17	0.3
180827-2-24	0.42	14.990	0.160	0.4615	0.0037	0.2358	0.0010	2815	10	2446	16	3093.2	4.8	-25.6
180827-2-48	0.56	12.760	0.150	0.5100	0.0050	0.1836	0.0010	2661	11	2656	21	2689.8	5.3	-0.3
<b>Haman Fm. (180828-1; n=100)</b>														
180828-1-59	0.16	0.103	0.009	0.0159	0.0002	0.0470	0.0039	99.5	8.1	101.3	1.1	147	44	7.4
180828-1-23	0.95	0.107	0.007	0.0162	0.0002	0.0469	0.0030	103.6	6	103.6	1.3	302	56	7.0
180828-1-31	0.49	0.107	0.004	0.0162	0.0001	0.0459	0.0018	102.9	3.7	103.67	0.77	109	33	3.6
180828-1-29	0.44	0.110	0.004	0.0166	0.0001	0.0488	0.0016	105.4	3.3	105.88	0.7	236	31	3.3
180828-1-7	0.38	0.112	0.002	0.0168	0.0001	0.0490	0.0007	107.3	1.7	107.08	0.75	166	18	2.1
180828-1-80	0.19	0.115	0.007	0.0168	0.0002	0.0496	0.0031	110.2	6.6	107.64	0.93	381	57	4.6
180828-1-71	0.52	0.111	0.006	0.0169	0.0002	0.0481	0.0027	106.7	5.9	107.7	1.1	264	67	5.6
180828-1-77	1.00	0.236	0.006	0.0173	0.0001	0.0985	0.0025	215.5	4.8	110.67	0.67	1607	34	-89.8
180828-1-97	0.31	0.179	0.003	0.0240	0.0001	0.0536	0.0008	166.8	2.2	152.72	0.91	345	20	-7.2
180828-1-57	0.45	0.177	0.003	0.0260	0.0003	0.0496	0.0006	165.4	2.3	165.5	1.6	180	14	2.3
180828-1-36	0.43	0.177	0.002	0.0260	0.0002	0.0492	0.0005	165.5	1.9	165.6	1	156	14	1.7
180828-1-17	0.61	0.179	0.003	0.0261	0.0002	0.0504	0.0010	167.4	2.9	165.86	0.99	225	19	1.4
180828-1-83	0.36	0.176	0.003	0.0261	0.0002	0.0490	0.0007	164.9	2.4	165.9	1.1	140	16	1.5
180828-1-87	0.51	0.179	0.004	0.0262	0.0002	0.0495	0.0010	167.5	3.4	166.5	1.2	207	25	2.2
180828-1-47	1.02	0.179	0.006	0.0262	0.0002	0.0496	0.0017	167.7	5.3	166.6	1.4	261	40	3.4
180828-1-50	0.33	0.179	0.002	0.0262	0.0001	0.0490	0.0006	166.8	2.1	166.64	0.89	154	15	1.7
180828-1-79	0.72	0.178	0.003	0.0262	0.0002	0.0495	0.0007	166.6	2.4	166.7	1.4	169	17	2.2
180828-1-62	0.15	0.180	0.003	0.0262	0.0002	0.0499	0.0007	168	2.3	166.8	1.4	195	19	1.5
180828-1-44	0.41	0.179	0.003	0.0262	0.0002	0.0499	0.0007	166.9	2.3	166.82	0.97	207	14	1.9
180828-1-4	0.11	0.178	0.002	0.0263	0.0002	0.0494	0.0004	166.7	1.6	167	1.4	172	11	1.6
180828-1-56	0.60	0.181	0.005	0.0263	0.0002	0.0498	0.0015	168.9	4.6	167.2	1.2	227	27	2.5
180828-1-95	0.49	0.180	0.003	0.0263	0.0002	0.0495	0.0006	168	2.3	167.5	1.1	181	16	1.7
180828-1-32	0.29	0.179	0.002	0.0263	0.0002	0.0499	0.0004	167.1	1.5	167.6	1.1	188.7	9.3	1.3
180828-1-85	0.34	0.180	0.002	0.0264	0.0002	0.0492	0.0004	167.7	1.5	167.7	1.5	159	10	1.8
180828-1-53	0.16	0.180	0.002	0.0265	0.0001	0.0493	0.0004	168	1.5	168.77	0.87	161	11	1.0

**Table 3.** continued.

Sample Name	Th/U	$^{207}\text{Pb} / ^{235}\text{U}$	2σ	$^{206}\text{Pb} / ^{238}\text{U}$	2σ	$^{207}\text{Pb} / ^{206}\text{Pb}$	2σ	$^{235}\text{U}-^{207}\text{Pb}$ age (Ma)	2σ	$^{238}\text{U}-^{206}\text{Pb}$ age (Ma)	2σ	$^{207}\text{Pb}-^{206}\text{Pb}$ age (Ma)	2σ	Disc. (%)
180828-1-78	0.52	0.186	0.005	0.0268	0.0002	0.0506	0.0013	172.8	4.1	170.5	1.2	249	31	1.8
180828-1-9	0.76	0.184	0.007	0.0268	0.0002	0.0498	0.0017	171.4	5.6	170.5	1.2	297	34	3.5
180828-1-11	0.27	0.184	0.002	0.0270	0.0002	0.0501	0.0004	171.1	1.8	171.7	1.2	199	12	1.4
180828-1-13	0.25	0.186	0.002	0.0274	0.0002	0.0498	0.0004	173.4	1.8	174.15	0.92	187	12	1.1
180828-1-72	0.07	0.190	0.002	0.0278	0.0002	0.0496	0.0003	176.6	1.3	176.5	1	175.9	8.2	1.2
180828-1-54	0.62	0.199	0.014	0.0284	0.0003	0.0510	0.0035	185	12	180.8	1.9	362	74	5.4
180828-1-19	0.53	0.207	0.002	0.0301	0.0002	0.0505	0.0004	191.1	1.8	191.3	1.3	217	9.2	1.5
180828-1-18	0.28	0.225	0.005	0.0321	0.0003	0.0487	0.0013	207.1	4.7	203.4	1.7	179	32	1.3
180828-1-30	0.63	0.230	0.042	0.0336	0.0009	0.0507	0.0092	209	36	212.8	5.9	740	120	18.2
180828-1-76	1.52	0.237	0.030	0.0337	0.0007	0.0499	0.0062	216	25	213.8	4.1	727	96	12.6
180828-1-48	0.36	0.235	0.003	0.0339	0.0002	0.0504	0.0005	214.2	2.3	214.7	1.5	212	14	1.5
180828-1-35	0.63	0.245	0.012	0.0339	0.0003	0.0524	0.0024	222.2	9.5	214.7	1.9	409	49	1.8
180828-1-94	0.88	0.238	0.004	0.0340	0.0003	0.0502	0.0008	216.8	3.3	215.8	1.6	231	20	1.8
180828-1-96	0.48	0.238	0.003	0.0341	0.0003	0.0503	0.0006	217.2	2.5	216.2	1.6	218	18	1.4
180828-1-20	0.70	0.243	0.003	0.0349	0.0002	0.0515	0.0006	221.2	2.7	221.3	1.5	255	15	1.9
180828-1-37	0.37	0.245	0.002	0.0350	0.0002	0.0506	0.0004	222	1.9	221.9	1.4	233.5	9.3	1.4
180828-1-40	0.45	0.243	0.004	0.0350	0.0003	0.0501	0.0007	220.5	3.3	221.9	1.8	217	20	1.7
180828-1-46	1.57	0.244	0.010	0.0350	0.0003	0.0499	0.0018	221.2	8	221.9	2	253	35	4.2
180828-1-27	1.05	0.243	0.011	0.0351	0.0003	0.0520	0.0022	222.7	8.7	222.5	1.9	354	46	4.7
180828-1-14	0.51	0.247	0.004	0.0352	0.0003	0.0509	0.0008	224.2	3	222.9	1.7	263	20	1.5
180828-1-1	0.74	0.246	0.003	0.0352	0.0002	0.0508	0.0005	223.2	2.6	223	1.2	233	13	1.6
180828-1-99	0.80	0.245	0.004	0.0352	0.0002	0.0505	0.0007	222.6	2.9	223.3	1.5	228	15	1.7
180828-1-75	0.56	0.245	0.004	0.0353	0.0002	0.0502	0.0008	222.6	3.2	223.5	1.4	210	17	1.7
180828-1-67	1.28	0.243	0.005	0.0353	0.0002	0.0500	0.0010	220.9	4	223.7	1.5	219	23	1.2
180828-1-55	0.37	0.247	0.003	0.0353	0.0002	0.0509	0.0006	224	2.7	223.8	1.4	231	13	1.7
180828-1-63	0.40	0.252	0.010	0.0354	0.0005	0.0515	0.0020	228.3	8.1	223.9	2.8	273	30	2.9
180828-1-98	0.44	0.248	0.007	0.0353	0.0004	0.0505	0.0011	224.8	5.6	223.9	2.4	229	27	3.2
180828-1-86	0.49	0.249	0.004	0.0354	0.0002	0.0510	0.0009	226.4	3.4	224.4	1.3	240	17	1.2
180828-1-28	0.33	0.248	0.003	0.0354	0.0002	0.0509	0.0005	224.8	2.3	224.5	1.5	241	13	1.6
180828-1-3	0.92	0.249	0.005	0.0356	0.0002	0.0514	0.0009	225.8	4	225.6	1.3	253	21	2.3
180828-1-2	0.04	0.246	0.006	0.0357	0.0002	0.0495	0.0013	223.6	5.3	226.2	1.5	260	34	1.9
180828-1-58	0.96	0.250	0.017	0.0357	0.0004	0.0512	0.0035	225	14	226.3	2.4	483	62	6.7
180828-1-24	0.24	0.251	0.008	0.0359	0.0004	0.0509	0.0014	226.9	6.6	227.3	2.3	227	45	3.7
180828-1-6	-1.00	0.267	0.036	0.0363	0.0010	0.0546	0.0073	240	30	229.9	6	890	120	11.3
180828-1-52	0.67	0.254	0.036	0.0366	0.0009	0.0525	0.0076	230	31	231.6	5.7	770	110	15.3
180828-1-41	0.02	0.333	0.003	0.0464	0.0005	0.0532	0.0003	292	2.3	292.2	3.3	338.3	9.8	1.8
180828-1-39	0.85	0.450	0.008	0.0602	0.0004	0.0539	0.0010	376.9	5.9	377.1	2.7	379	26	2.2
180828-1-34	0.28	0.458	0.022	0.0604	0.0012	0.0536	0.0027	382	15	377.9	7.1	407	69	4.8
180828-1-89	0.59	0.956	0.011	0.1118	0.0011	0.0621	0.0008	681.7	6.2	683.2	6.3	672	17	1.6
180828-1-45	1.16	0.993	0.009	0.1146	0.0007	0.0638	0.0003	699.9	4.6	699.3	4.3	735.4	4.2	1.2
180828-1-92	0.45	1.003	0.015	0.1153	0.0009	0.0635	0.0008	704.7	7.5	703.5	5.4	723	15	1.7
180828-1-91	0.46	1.083	0.028	0.1213	0.0014	0.0647	0.0013	744	14	737.9	8.3	772	25	2.2
180828-1-33	0.54	1.174	0.013	0.1302	0.0009	0.0665	0.0004	788	6	789.2	5	827.5	7.2	1.2
180828-1-64	0.07	1.948	0.010	0.1737	0.0011	0.0812	0.0003	1097.7	3.3	1032.3	6.1	1230.3	5.1	-18.1
180828-1-5	0.01	3.206	0.037	0.2145	0.0023	0.1110	0.0003	1458.1	9	1253	12	1817.3	3.5	-43.8
180828-1-43	0.02	3.328	0.044	0.2160	0.0025	0.1110	0.0004	1486	10	1260	13	1816.4	3.9	-42.8

**Table 3.** continued.

Sample Name	Th/U	$^{207}\text{Pb} / ^{235}\text{U}$	2 $\sigma$	$^{206}\text{Pb} / ^{238}\text{U}$	2 $\sigma$	$^{207}\text{Pb} / ^{206}\text{Pb}$	2 $\sigma$	$^{235}\text{U}-^{207}\text{Pb}$ age (Ma)	2 $\sigma$	$^{238}\text{U}-^{206}\text{Pb}$ age (Ma)	2 $\sigma$	$^{207}\text{Pb}-^{206}\text{Pb}$ age (Ma)	2 $\sigma$	Disc. (%)
180828-1-38	0.03	3.388	0.033	0.2242	0.0025	0.1110	0.0003	1502.5	7.4	1304	13	1817	3	-38.1
180828-1-69	0.80	2.797	0.028	0.2341	0.0020	0.0871	0.0005	1354.9	7.4	1356	10	1363.5	5.8	0.6
180828-1-42	0.03	3.698	0.057	0.2471	0.0031	0.1104	0.0005	1573	12	1423	16	1810.9	5.4	-25.8
180828-1-66	0.05	3.879	0.042	0.2510	0.0023	0.1124	0.0004	1608.9	8.7	1443	12	1838	3.1	-26.3
180828-1-68	0.02	3.910	0.030	0.2529	0.0018	0.1120	0.0002	1615.8	6.2	1453.3	9.2	1832.1	2.5	-25.3
180828-1-74	0.42	3.931	0.035	0.2554	0.0018	0.1114	0.0004	1619.3	7.1	1465.8	9.2	1820.3	4.3	-23.3
180828-1-26	0.06	3.905	0.070	0.2596	0.0044	0.1117	0.0002	1613	14	1487	22	1825.8	2.2	-21.2
180828-1-90	0.02	4.995	0.044	0.2910	0.0021	0.1243	0.0004	1818.1	7.4	1647	10	2022.2	3.6	-22.0
180828-1-81	0.04	4.652	0.068	0.2990	0.0043	0.1134	0.0003	1758	12	1686	21	1856.5	3	-8.7
180828-1-10	0.06	6.249	0.090	0.3067	0.0037	0.1461	0.0010	2013	13	1724	18	2298.4	8.6	-31.8
180828-1-12	0.05	4.702	0.086	0.3133	0.0059	0.1126	0.0004	1767	15	1757	29	1845.3	2.4	-3.2
180828-1-65	0.01	5.092	0.099	0.3184	0.0062	0.1157	0.0007	1835	16	1782	30	1891.9	5.4	-4.2
180828-1-49	0.23	4.794	0.059	0.3188	0.0040	0.1141	0.0004	1784	10	1784	19	1864.1	4.1	-3.2
180828-1-15	0.48	4.802	0.039	0.3190	0.0031	0.1146	0.0006	1785.1	6.7	1785	15	1871.1	4.8	-3.7
180828-1-84	0.27	4.974	0.062	0.3227	0.0045	0.1133	0.0014	1815	10	1803	22	1854	12	-0.9
180828-1-25	0.19	4.946	0.044	0.3237	0.0032	0.1149	0.0004	1809.7	7.5	1807	16	1877.5	4.2	-2.8
180828-1-8	0.35	4.920	0.053	0.3229	0.0031	0.1144	0.0003	1807.2	8.6	1807	16	1869.2	2.7	-2.4
180828-1-60	0.62	5.150	0.098	0.3274	0.0045	0.1145	0.0014	1844	16	1826	22	1873	14	-0.6
180828-1-51	0.60	5.090	0.120	0.3279	0.0071	0.1130	0.0015	1833	20	1828	35	1849	17	1.7
180828-1-70	0.60	5.092	0.068	0.3290	0.0038	0.1132	0.0008	1834	11	1833	19	1847.9	7.4	0.6
180828-1-61	0.51	5.168	0.078	0.3296	0.0056	0.1142	0.0014	1847	13	1836	27	1868.4	8.5	0.2
180828-1-73	0.49	5.190	0.200	0.3310	0.0130	0.1140	0.0006	1849	33	1842	65	1863.8	5.8	2.7
180828-1-93	0.15	5.245	0.072	0.3334	0.0043	0.1145	0.0008	1860	12	1855	21	1872	4.8	0.5
180828-1-21	0.03	8.520	0.130	0.3739	0.0040	0.1727	0.0008	2287	13	2048	19	2583.5	7.3	-24.9
180828-1-22	0.41	6.699	0.051	0.3782	0.0029	0.1309	0.0004	2072	6.7	2068	13	2110.1	2.9	-1.3
180828-1-16	0.30	6.851	0.043	0.3836	0.0020	0.1318	0.0003	2092	5.6	2093	9.4	2122.2	2.2	-0.8
180828-1-88	0.69	10.499	0.083	0.4690	0.0035	0.1628	0.0003	2479.4	7.2	2479	15	2484	1.7	0.5
180828-1-100	0.30	12.320	0.150	0.5023	0.0070	0.1769	0.0006	2629	12	2623	30	2622.9	1.9	1.2
180828-1-82	0.43	12.660	0.140	0.5082	0.0056	0.1814	0.0005	2654	10	2649	24	2666.3	2.4	0.3

**Banyawol Fm. (180828-2; n=100)**

180828-2-53	0.48	0.102	0.006	0.0150	0.0003	0.0492	0.0026	98.3	5.3	96	1.6	371	49	4.8
180828-2-46	0.36	0.101	0.004	0.0150	0.0002	0.0487	0.0017	97.4	3.2	96.1	1.3	232	36	3.3
180828-2-41	0.23	0.103	0.003	0.0154	0.0002	0.0487	0.0010	99	2.4	98.7	1.5	147	25	3.6
180828-2-21	0.36	0.103	0.003	0.0155	0.0002	0.0484	0.0013	99.8	2.8	99.1	1.4	176	34	3.5
180828-2-25	0.46	0.099	0.006	0.0155	0.0003	0.0479	0.0030	96.6	5.6	99.1	1.8	343	58	5.1
180828-2-13	0.29	0.103	0.004	0.0155	0.0002	0.0477	0.0016	99.7	3.5	99.2	1.5	167	35	4.5
180828-2-78	0.69	0.103	0.006	0.0155	0.0003	0.0484	0.0029	99.4	5.7	99.3	1.9	329	57	7.6
180828-2-92	0.42	0.100	0.006	0.0155	0.0002	0.0475	0.0027	97.8	5.8	99.3	1.6	370	72	6.0
180828-2-52	0.34	0.104	0.003	0.0156	0.0001	0.0485	0.0013	100.3	2.7	99.57	0.89	214	26	2.9
180828-2-43	0.38	0.101	0.005	0.0156	0.0004	0.0486	0.0026	97.8	4.6	99.8	2.3	187	67	5.0
180828-2-48	0.41	0.100	0.006	0.0156	0.0003	0.0474	0.0028	97	5.3	99.9	1.7	367	59	4.2
180828-2-57	0.30	0.103	0.003	0.0156	0.0002	0.0483	0.0010	99.6	2.3	99.9	1.3	110	18	3.3
180828-2-87	0.27	0.104	0.003	0.0158	0.0001	0.0477	0.0013	100.3	2.7	100.72	0.9	195	32	3.2
180828-2-72	0.39	0.104	0.012	0.0158	0.0004	0.0478	0.0056	101	11	101	2.7	500	120	13.6
180828-2-15	0.84	0.106	0.002	0.0158	0.0001	0.0485	0.0009	102.5	2	101.13	0.84	150	20	1.5

**Table 3.** continued.

Sample Name	Th/U	$^{207}\text{Pb} / ^{235}\text{U}$	$2\sigma$	$^{206}\text{Pb} / ^{238}\text{U}$	$2\sigma$	$^{207}\text{Pb} / ^{206}\text{Pb}$	$2\sigma$	$^{235}\text{U}-^{207}\text{Pb}$ age (Ma)	$2\sigma$	$^{238}\text{U}-^{206}\text{Pb}$ age (Ma)	$2\sigma$	$^{207}\text{Pb}-^{206}\text{Pb}$ age (Ma)	$2\sigma$	Disc. (%)
180828-2-30	0.56	0.106	0.005	0.0159	0.0004	0.0496	0.0028	102.4	4.8	101.3	2.4	290	93	6.0
180828-2-100	0.54	0.108	0.003	0.0159	0.0002	0.0491	0.0013	104.2	2.5	101.5	1.1	208	41	0.9
180828-2-50	0.32	0.105	0.008	0.0159	0.0004	0.0478	0.0037	101.3	7.3	101.6	2.3	332	85	9.2
180828-2-76	0.52	0.109	0.007	0.0159	0.0004	0.0498	0.0033	104.9	6.2	101.8	2.5	350	84	5.5
180828-2-96	0.40	0.108	0.004	0.0159	0.0002	0.0479	0.0017	104	3.8	101.8	1.4	242	32	2.9
180828-2-89	0.41	0.104	0.004	0.0160	0.0002	0.0476	0.0017	101.4	3.7	102.2	1.3	193	40	4.1
180828-2-14	0.37	0.108	0.003	0.0160	0.0002	0.0492	0.0013	104	2.3	102.32	0.94	204	30	1.5
180828-2-54	0.55	0.108	0.004	0.0160	0.0003	0.0488	0.0015	104	3.4	102.4	1.8	226	35	3.5
180828-2-77	0.48	0.108	0.004	0.0161	0.0003	0.0488	0.0018	103.8	3.7	102.6	1.6	239	45	4.0
180828-2-70	0.77	0.108	0.004	0.0161	0.0002	0.0489	0.0017	104.7	3.5	102.8	1.2	234	36	2.7
180828-2-61	0.21	0.107	0.002	0.0161	0.0003	0.0483	0.0007	102.9	1.9	102.9	1.7	112	23	3.5
180828-2-26	0.38	0.107	0.004	0.0162	0.0002	0.0475	0.0017	102.8	3.4	103.3	1.3	201	40	4.1
180828-2-51	0.43	0.108	0.004	0.0162	0.0002	0.0487	0.0019	104.3	3.9	103.3	1.4	207	46	4.2
180828-2-71	0.43	0.108	0.005	0.0162	0.0002	0.0487	0.0020	103.9	4.1	103.3	1.5	222	42	4.8
180828-2-29	0.42	0.108	0.003	0.0163	0.0002	0.0485	0.0014	104	3.1	103.9	1.1	254	29	3.9
180828-2-34	0.58	0.114	0.010	0.0163	0.0004	0.0507	0.0050	109.1	9.1	104	2.4	390	120	6.2
180828-2-10	0.45	0.108	0.012	0.0164	0.0003	0.0484	0.0050	104	11	104.8	1.9	220	100	11.6
180828-2-1	0.44	0.112	0.007	0.0164	0.0003	0.0492	0.0031	107.5	6.3	104.9	1.6	190	48	5.1
180828-2-35	0.33	0.112	0.006	0.0164	0.0003	0.0494	0.0027	106	4.8	105.1	1.9	340	73	5.5
180828-2-73	0.49	0.112	0.008	0.0165	0.0004	0.0482	0.0035	106.7	7.5	105.5	2.2	413	66	8.1
180828-2-7	0.55	0.113	0.008	0.0165	0.0004	0.0503	0.0037	108.2	7.5	105.6	2.5	325	79	7.0
180828-2-98	0.22	0.113	0.003	0.0166	0.0002	0.0495	0.0014	108.6	2.7	105.8	1.3	193	31	1.1
180828-2-62	0.85	0.181	0.005	0.0263	0.0005	0.0507	0.0013	168.5	4.5	167.3	3	217	36	3.8
180828-2-32	0.57	0.183	0.007	0.0265	0.0005	0.0499	0.0012	170.2	5.7	168.5	3.2	190	37	4.3
180828-2-81	0.45	0.181	0.005	0.0265	0.0006	0.0496	0.0010	168.6	4.2	168.5	3.5	191	31	4.5
180828-2-59	0.64	0.183	0.004	0.0269	0.0004	0.0493	0.0007	170.6	3.2	171	2.3	181	25	3.0
180828-2-91	0.92	0.191	0.007	0.0280	0.0005	0.0501	0.0019	177	6.2	177.8	3	329	39	4.7
180828-2-80	0.69	0.199	0.006	0.0288	0.0004	0.0500	0.0015	184.4	5.3	182.9	2.3	277	34	3.3
180828-2-2	0.64	0.212	0.006	0.0305	0.0004	0.0504	0.0012	195.5	4.5	193.9	2.2	218	19	2.6
180828-2-82	0.86	0.220	0.011	0.0308	0.0007	0.0524	0.0025	201.3	8.8	195.8	4.1	311	44	3.8
180828-2-24	0.82	0.241	0.005	0.0344	0.0004	0.0506	0.0010	218.9	4.3	218.2	2.2	231	28	2.7
180828-2-88	0.71	0.248	0.015	0.0348	0.0007	0.0509	0.0027	224	12	220.2	4.1	279	56	5.6
180828-2-65	0.76	0.244	0.005	0.0348	0.0006	0.0515	0.0008	221.3	3.7	220.7	3.4	265	16	2.9
180828-2-75	0.25	0.260	0.008	0.0369	0.0009	0.0527	0.0016	234.2	6.8	233.8	5.8	308	46	5.2
180828-2-74	0.87	0.263	0.011	0.0370	0.0008	0.0525	0.0019	236.5	9.1	234.1	4.8	321	42	4.9
180828-2-11	0.68	0.275	0.013	0.0387	0.0008	0.0512	0.0023	247	10	244.5	4.9	363	49	5.1
180828-2-85	0.58	0.277	0.009	0.0394	0.0006	0.0508	0.0015	248	7.2	249.1	3.4	260	36	3.8
180828-2-6	0.59	0.279	0.008	0.0395	0.0007	0.0512	0.0015	250.4	5.9	249.7	4.1	278	41	3.7
180828-2-99	0.43	0.285	0.009	0.0400	0.0006	0.0514	0.0017	254.1	7.4	252.7	3.4	264	45	3.7
180828-2-8	0.67	0.284	0.006	0.0404	0.0004	0.0503	0.0011	253.4	4.9	255.3	2.3	259	25	2.1
180828-2-56	0.74	0.289	0.008	0.0408	0.0005	0.0517	0.0013	259.7	6.3	257.9	3.2	290	28	3.0
180828-2-20	0.51	0.295	0.012	0.0411	0.0008	0.0523	0.0020	262.2	9.3	259.5	4.8	345	49	4.4
180828-2-38	0.43	0.303	0.011	0.0418	0.0011	0.0527	0.0014	268.3	8.6	264.3	6.5	311	61	4.2
180828-2-60	0.82	0.534	0.009	0.0696	0.0008	0.0558	0.0008	434.1	6.1	433.6	4.6	435	16	2.4
180828-2-47	0.02	4.045	0.071	0.2557	0.0042	0.1151	0.0005	1644	15	1471	23	1884.6	4.7	-26.2
180828-2-36	0.22	4.428	0.073	0.2800	0.0037	0.1138	0.0009	1716	14	1591	19	1860.1	8.7	-15.2

**Table 3.** continued.

Sample Name	Th/U	$^{207}\text{Pb} / ^{235}\text{U}$	$2\sigma$	$^{206}\text{Pb} / ^{238}\text{U}$	$2\sigma$	$^{207}\text{Pb} / ^{206}\text{Pb}$	$2\sigma$	$^{235}\text{U}-^{207}\text{Pb}$ age (Ma)	$2\sigma$	$^{238}\text{U}-^{206}\text{Pb}$ age (Ma)	$2\sigma$	$^{207}\text{Pb}-^{206}\text{Pb}$ age (Ma)	$2\sigma$	Disc. (%)
180828-2-95	0.33	4.910	0.110	0.3208	0.0063	0.1133	0.0010	1804	20	1793	31	1851.5	6.3	-1.2
180828-2-45	0.74	5.000	0.170	0.3250	0.0100	0.1134	0.0015	1818	30	1814	50	1856.1	9	0.9
180828-2-17	0.49	5.010	0.140	0.3270	0.0100	0.1143	0.0013	1821	24	1820	49	1872	15	0.7
180828-2-9	0.24	5.049	0.091	0.3268	0.0048	0.1118	0.0010	1827	15	1823	23	1829	9.3	1.4
180828-2-63	0.41	5.110	0.120	0.3271	0.0084	0.1149	0.0019	1837	19	1824	41	1878	12	-0.1
180828-2-94	0.07	5.129	0.097	0.3288	0.0059	0.1127	0.0008	1840	16	1832	29	1846.9	6.9	1.1
180828-2-67	0.54	5.110	0.130	0.3294	0.0067	0.1139	0.0015	1838	22	1835	33	1863	14	1.0
180828-2-16	0.42	5.195	0.053	0.3301	0.0034	0.1137	0.0004	1850.9	8.8	1838	16	1858.8	3.8	-0.1
180828-2-42	0.29	5.088	0.099	0.3300	0.0065	0.1139	0.0012	1833	16	1838	31	1855	14	1.5
180828-2-84	0.14	5.130	0.300	0.3310	0.0190	0.1150	0.0018	1850	54	1840	90	1889	15	3.0
180828-2-18	0.32	5.197	0.066	0.3309	0.0047	0.1143	0.0007	1852	11	1842	23	1869.8	6.6	0.1
180828-2-19	0.04	5.177	0.058	0.3309	0.0036	0.1136	0.0003	1849	9.7	1842	18	1859.5	2.6	0.2
180828-2-66	0.23	5.230	0.150	0.3320	0.0110	0.1148	0.0017	1856	25	1846	54	1881	12	1.7
180828-2-22	0.05	5.180	0.100	0.3319	0.0056	0.1139	0.0008	1848	17	1847	27	1858	7.2	1.3
180828-2-86	0.05	5.154	0.070	0.3320	0.0042	0.1134	0.0007	1845	12	1848	20	1854.2	4	1.0
180828-2-5	0.08	5.173	0.056	0.3325	0.0036	0.1134	0.0005	1848.8	9.1	1850	17	1853.5	3.6	0.9
180828-2-12	0.10	5.250	0.038	0.3332	0.0021	0.1139	0.0003	1861.6	5.9	1854	10	1862.4	3.5	0.3
180828-2-4	0.36	5.216	0.069	0.3333	0.0048	0.1127	0.0006	1855	12	1856	23	1846.4	5.3	1.0
180828-2-97	0.16	5.278	0.074	0.3343	0.0045	0.1136	0.0005	1865	12	1858	22	1855.3	4.8	1.3
180828-2-3	0.16	5.254	0.073	0.3351	0.0048	0.1146	0.0009	1861	12	1863	23	1870.2	7.3	1.2
180828-2-39	0.35	5.260	0.140	0.3352	0.0057	0.1142	0.0014	1865	21	1863	28	1871.8	7.4	1.4
180828-2-69	0.20	5.272	0.083	0.3351	0.0058	0.1144	0.0017	1864	13	1863	28	1873	16	1.8
180828-2-31	0.17	5.300	0.100	0.3353	0.0053	0.1151	0.0007	1868	16	1864	25	1882.8	7.4	0.7
180828-2-40	0.22	5.286	0.094	0.3355	0.0052	0.1151	0.0011	1865	15	1864	25	1878	11	1.2
180828-2-79	0.27	5.290	0.110	0.3353	0.0069	0.1151	0.0007	1871	15	1864	33	1883.2	6.8	1.1
180828-2-93	0.87	5.250	0.120	0.3347	0.0070	0.1139	0.0008	1862	19	1865	35	1861.6	6.8	2.1
180828-2-90	0.16	5.284	0.054	0.3370	0.0035	0.1135	0.0007	1865.8	8.7	1872	17	1858.2	6	0.5
180828-2-49	0.16	5.302	0.077	0.3384	0.0055	0.1158	0.0008	1869	12	1879	26	1891.9	7.3	1.1
180828-2-58	0.16	5.331	0.088	0.3389	0.0049	0.1157	0.0009	1873	14	1881	24	1895.6	7	0.9
180828-2-37	0.04	5.414	0.078	0.3395	0.0056	0.1155	0.0005	1886	12	1884	27	1887.1	3	1.4
180828-2-55	0.23	5.350	0.130	0.3398	0.0075	0.1168	0.0010	1876	20	1885	36	1912	11	1.1
180828-2-64	0.13	5.440	0.120	0.3415	0.0075	0.1158	0.0008	1894	20	1893	36	1893.9	8	2.3
180828-2-28	0.17	5.736	0.097	0.3497	0.0053	0.1186	0.0005	1938	14	1933	25	1933.9	5.3	1.5
180828-2-44	0.55	6.430	0.270	0.3750	0.0170	0.1269	0.0028	2034	37	2050	80	2054	14	4.4
180828-2-68	0.38	8.280	0.120	0.3804	0.0044	0.1576	0.0009	2261	13	2078	21	2428	6.3	-15.5
180828-2-27	0.52	7.516	0.085	0.4004	0.0041	0.1359	0.0006	2174	10	2173	18	2174	4.6	1.0
180828-2-23	0.36	8.670	0.250	0.4292	0.0091	0.1474	0.0017	2301	26	2301	41	2315	18	2.0
180828-2-83	0.55	9.820	0.480	0.4580	0.0180	0.1581	0.0021	2431	37	2432	81	2419	12	3.3
180828-2-33	1.33	10.310	0.520	0.4650	0.0210	0.1617	0.0028	2459	47	2460	93	2485	26	3.8

**Jeomgok Fm. (180829-2; n=100)**

180827-1-59	0.06	0.183	0.003	0.0266	0.0001	0.0494	0.0007	170.1	2.3	169.4	0.83	179	17	1.4
180827-1-82	0.09	0.182	0.002	0.0268	0.0002	0.0491	0.0004	170.1	1.4	170.27	0.97	158	11	1.3
180827-1-18	0.20	0.183	0.002	0.0268	0.0002	0.0494	0.0006	170.2	1.9	170.7	1	178	16	1.4
180827-1-50	0.59	0.187	0.006	0.0269	0.0002	0.0504	0.0014	174.8	4.9	171.2	1.2	226	29	1.5
180827-1-42	0.17	0.185	0.004	0.0269	0.0002	0.0495	0.0008	172.7	3	171.3	1	176	20	1.5

**Table 3.** continued.

Sample Name	Th/U	$^{207}\text{Pb} / ^{235}\text{U}$	2σ	$^{206}\text{Pb} / ^{238}\text{U}$	2σ	$^{207}\text{Pb} / ^{206}\text{Pb}$	2σ	$^{235}\text{U}-^{207}\text{Pb}$ age (Ma)	2σ	$^{238}\text{U}-^{206}\text{Pb}$ age (Ma)	2σ	$^{207}\text{Pb}-^{206}\text{Pb}$ age (Ma)	2σ	Disc. (%)
180827-1-19	0.25	0.186	0.002	0.0271	0.0002	0.0495	0.0005	173.1	1.6	172.1	1.1	173	12	1.0
180827-1-58	0.11	0.186	0.003	0.0271	0.0002	0.0497	0.0008	173.1	2.5	172.5	1.2	202	20	1.8
180827-1-97	0.21	0.187	0.002	0.0272	0.0002	0.0501	0.0005	173.7	1.9	173	1.4	204	14	1.5
180827-1-11	0.15	0.190	0.002	0.0278	0.0002	0.0496	0.0005	176.6	1.7	176.8	1	184	14	1.4
180827-1-29	0.49	0.198	0.007	0.0285	0.0002	0.0508	0.0017	184	5.5	180.8	1.5	267	35	2.1
180827-1-38	0.52	0.205	0.007	0.0290	0.0003	0.0511	0.0017	189.6	5.7	184.2	1.6	279	27	1.0
180827-1-67	0.47	0.205	0.005	0.0299	0.0002	0.0507	0.0013	189.3	4.5	189.7	1.2	261	30	2.8
180827-1-85	0.65	0.208	0.006	0.0299	0.0002	0.0506	0.0013	191.8	4.6	189.8	1.1	288	32	1.9
180827-1-98	0.32	0.206	0.004	0.0299	0.0003	0.0497	0.0010	190.1	3.5	189.9	1.8	209	24	2.7
180827-1-21	0.45	0.209	0.007	0.0300	0.0002	0.0503	0.0015	191.8	5.7	190.6	1.4	290	30	3.1
180827-1-83	0.30	0.206	0.005	0.0300	0.0002	0.0497	0.0012	190.1	4.2	190.8	1.2	222	25	2.5
180827-1-35	0.34	0.210	0.005	0.0302	0.0002	0.0503	0.0011	193.4	3.8	191.6	1.2	218	24	1.7
180827-1-64	0.66	0.209	0.005	0.0302	0.0002	0.0504	0.0013	192.1	4.5	191.6	1.2	252	27	2.7
180827-1-71	0.52	0.203	0.009	0.0304	0.0002	0.0489	0.0022	189	7.7	192.9	1.4	332	45	2.8
180827-1-96	0.50	0.214	0.009	0.0304	0.0003	0.0517	0.0021	197.3	7.4	193.2	1.8	343	43	2.6
180827-1-99	0.59	0.214	0.006	0.0305	0.0006	0.0520	0.0013	196.9	5.2	193.4	3.5	291	29	2.7
180827-1-3	0.54	0.213	0.004	0.0305	0.0002	0.0503	0.0010	196.1	3.6	193.7	1.3	246	20	1.3
180827-1-66	0.36	0.211	0.004	0.0306	0.0002	0.0501	0.0008	194.6	3	194.3	1.1	196	19	2.0
180827-1-5	0.73	0.212	0.006	0.0306	0.0003	0.0496	0.0014	195.3	5.1	194.5	1.5	193	34	3.0
180827-1-74	0.55	0.215	0.009	0.0307	0.0002	0.0516	0.0022	196.8	7.8	194.7	1.2	362	44	3.5
180827-1-63	0.31	0.215	0.007	0.0307	0.0002	0.0512	0.0017	198.4	6.2	194.8	1.4	331	42	2.1
180827-1-34	0.84	0.212	0.008	0.0309	0.0003	0.0493	0.0019	194.3	7	196.4	1.6	302	53	3.3
180827-1-28	0.49	0.259	0.067	0.0330	0.0011	0.0500	0.0150	214	56	209.4	6.8	1000	180	27.8
180827-1-32	0.66	0.234	0.009	0.0339	0.0003	0.0506	0.0019	212.9	7.7	214.6	2.1	275	40	3.8
180827-1-14	0.46	0.261	0.003	0.0371	0.0002	0.0512	0.0005	235.6	2.5	234.7	1.5	250	11	1.3
180827-1-41	0.35	0.259	0.023	0.0393	0.0005	0.0482	0.0043	232	18	248.4	3	286	99	2.0
180827-1-13	0.38	0.279	0.009	0.0399	0.0003	0.0510	0.0016	249.2	7.4	252.3	2	246	40	2.5
180827-1-46	0.14	0.285	0.005	0.0400	0.0004	0.0515	0.0008	254.6	3.9	252.9	2.6	271	19	1.9
180827-1-62	0.28	0.285	0.003	0.0401	0.0002	0.0519	0.0005	254.4	2.2	253.6	1.2	273	13	1.0
180827-1-56	0.25	0.331	0.013	0.0451	0.0004	0.0528	0.0022	289	10	284.5	2.2	402	45	2.7
180827-1-10	0.76	0.508	0.008	0.0669	0.0005	0.0550	0.0008	416.5	5.5	417.5	2.9	397	20	1.8
180827-1-36	0.17	0.626	0.008	0.0793	0.0005	0.0572	0.0006	493.2	5.1	491.7	2.9	497	11	1.3
180827-1-70	0.03	1.840	0.010	0.1336	0.0006	0.1012	0.0003	1059.5	3.4	808.3	3.5	1646.1	3.4	-30.2
180827-1-15	0.09	2.335	0.022	0.1556	0.0014	0.1096	0.0004	1222.7	6.8	932	7.7	1791.3	6	-29.6
180827-1-22	0.11	2.366	0.015	0.1602	0.0010	0.1070	0.0003	1232.2	4.6	957.8	5.5	1751.3	3.8	-27.6
180827-1-23	0.05	2.750	0.048	0.1848	0.0030	0.1079	0.0003	1345	14	1095	17	1766.6	3.5	-59.5
180827-1-48	0.05	2.794	0.034	0.1884	0.0021	0.1079	0.0003	1353.9	8.9	1113	11	1762.7	2.7	-57.1
180827-1-49	0.05	2.852	0.074	0.1890	0.0040	0.1084	0.0008	1365	20	1115	22	1769	13	-55.5
180827-1-72	0.10	2.903	0.065	0.1965	0.0040	0.1093	0.0004	1385	17	1156	22	1786	5	-52.2
180827-1-68	0.22	2.904	0.038	0.2033	0.0021	0.1021	0.0005	1382.5	9.9	1193	11	1665.7	5.6	-38.2
180827-1-86	0.08	3.208	0.065	0.2099	0.0037	0.1099	0.0004	1456	16	1228	19	1797.7	4.1	-44.5
180827-1-12	0.02	3.265	0.058	0.2146	0.0035	0.1111	0.0006	1473	14	1253	19	1816	5.7	-43.0
180827-1-1	0.28	3.216	0.023	0.2154	0.0015	0.1078	0.0002	1461.2	5.6	1257.4	7.9	1761.6	2.1	-39.3
180827-1-57	0.06	3.461	0.056	0.2207	0.0031	0.1126	0.0004	1518	13	1285	16	1843.5	4.2	-41.9
180827-1-30	0.24	3.885	0.089	0.2352	0.0051	0.1210	0.0004	1610	19	1361	26	1967.2	4	-42.3
180827-1-39	0.32	4.360	0.120	0.2409	0.0039	0.1301	0.0020	1703	23	1391	21	2104	26	-47.9

**Table 3.** continued.

Sample Name	Th/U	$^{207}\text{Pb} / ^{235}\text{U}$	2 $\sigma$	$^{206}\text{Pb} / ^{238}\text{U}$	2 $\sigma$	$^{207}\text{Pb} / ^{206}\text{Pb}$	2 $\sigma$	$^{235}\text{U}-^{207}\text{Pb}$ age (Ma)	2 $\sigma$	$^{238}\text{U}-^{206}\text{Pb}$ age (Ma)	2 $\sigma$	$^{207}\text{Pb}-^{206}\text{Pb}$ age (Ma)	2 $\sigma$	Disc. (%)
180827-1-77	0.14	3.686	0.078	0.2421	0.0047	0.1115	0.0004	1564	17	1396	24	1822	3.8	-28.5
180827-1-94	0.43	3.685	0.049	0.2420	0.0026	0.1120	0.0011	1568	11	1397	14	1833.7	8.2	-29.7
180827-1-16	0.00	3.823	0.027	0.2458	0.0016	0.1128	0.0002	1597.2	5.6	1416.8	8.2	1846.6	2.1	-29.6
180827-1-69	0.14	3.742	0.055	0.2507	0.0035	0.1110	0.0004	1579	12	1442	18	1811.8	5	-24.0
180827-1-52	0.10	4.041	0.049	0.2627	0.0028	0.1121	0.0004	1641.5	9.8	1503	14	1830.8	3.3	-20.7
180827-1-61	0.05	4.068	0.022	0.2633	0.0014	0.1123	0.0002	1648	4.5	1507.7	7.4	1836.7	2.4	-21.2
180827-1-40	0.11	4.403	0.047	0.2813	0.0027	0.1131	0.0003	1712	8.8	1598	14	1850.2	3	-14.7
180827-1-60	0.06	4.795	0.075	0.2841	0.0039	0.1220	0.0005	1783	13	1613	19	1986.6	5.2	-21.7
180827-1-88	0.13	4.470	0.066	0.2879	0.0043	0.1140	0.0003	1724	12	1630	21	1866.8	3.6	-13.0
180827-1-75	0.24	4.372	0.035	0.2914	0.0023	0.1122	0.0006	1708.2	6.4	1648	11	1835.8	4.6	-10.4
180827-1-33	0.60	4.577	0.037	0.2949	0.0021	0.1128	0.0004	1745	6.8	1666	11	1847.8	4.1	-10.0
180827-1-17	0.10	4.594	0.058	0.2985	0.0039	0.1122	0.0004	1748	11	1684	19	1837.5	5.2	-7.7
180827-1-87	0.26	5.980	0.120	0.3038	0.0056	0.1450	0.0008	1975	19	1710	28	2289.4	7.1	-31.8
180827-1-24	0.03	4.719	0.068	0.3063	0.0047	0.1119	0.0003	1770	12	1722	23	1831.1	2.2	-4.9
180827-1-37	0.78	4.849	0.052	0.3064	0.0034	0.1150	0.0011	1793.2	9	1723	17	1883.8	6.1	-8.0
180827-1-6	0.17	4.738	0.093	0.3074	0.0058	0.1115	0.0007	1773	17	1728	28	1823.4	4.8	-3.6
180827-1-44	0.01	4.738	0.042	0.3092	0.0028	0.1110	0.0005	1773.7	7.5	1737	14	1817.8	4.7	-3.6
180827-1-26	0.63	4.899	0.067	0.3122	0.0039	0.1146	0.0008	1802	11	1751	19	1873.6	5.7	-5.6
180827-1-25	0.07	5.187	0.094	0.3190	0.0059	0.1184	0.0009	1850	16	1785	29	1932.7	9.1	-6.1
180827-1-84	0.44	4.850	0.130	0.3190	0.0084	0.1125	0.0025	1793	23	1785	41	1845	19	0.0
180827-1-89	0.13	4.900	0.130	0.3198	0.0095	0.1121	0.0005	1801	22	1788	46	1836	5.4	0.2
180827-1-51	0.21	4.878	0.090	0.3201	0.0058	0.1128	0.0008	1805	19	1790	28	1851.8	9	-1.4
180827-1-73	0.30	4.909	0.038	0.3231	0.0023	0.1134	0.0006	1803.5	6.6	1805	11	1852.1	5.5	-1.7
180827-1-93	0.35	4.972	0.077	0.3246	0.0048	0.1137	0.0006	1814	13	1812	24	1861	6.3	-1.0
180827-1-79	0.11	5.030	0.120	0.3250	0.0057	0.1131	0.0010	1823	21	1814	28	1848.2	4.7	-0.1
180827-1-45	0.42	5.014	0.090	0.3254	0.0056	0.1118	0.0006	1821	15	1816	27	1836	9.1	0.9
180827-1-8	0.49	5.070	0.150	0.3253	0.0076	0.1127	0.0016	1831	24	1816	37	1842	17	1.5
180827-1-91	0.64	5.076	0.075	0.3283	0.0049	0.1146	0.0010	1837	13	1830	24	1866.2	7.9	-0.2
180827-1-9	0.50	5.167	0.064	0.3291	0.0048	0.1138	0.0012	1847	11	1834	23	1860.4	7.9	0.2
180827-1-43	0.03	5.107	0.058	0.3294	0.0037	0.1130	0.0002	1838	10	1835	18	1848.9	2.1	0.3
180827-1-54	0.17	5.100	0.072	0.3295	0.0053	0.1131	0.0003	1836	12	1836	26	1849.4	5.8	1.0
180827-1-47	0.24	5.117	0.083	0.3298	0.0050	0.1136	0.0006	1842	15	1837	24	1857.5	4.9	0.5
180827-1-95	0.17	5.150	0.072	0.3304	0.0049	0.1143	0.0006	1844	12	1840	24	1866.4	3.9	0.1
180827-1-7	0.27	5.183	0.075	0.3312	0.0047	0.1130	0.0007	1850	12	1844	23	1846.8	4.1	1.3
180827-1-2	0.28	5.199	0.043	0.3326	0.0027	0.1126	0.0002	1852.9	7.1	1851	13	1840.8	2.1	0.3
180827-1-55	0.01	5.227	0.052	0.3334	0.0036	0.1149	0.0003	1856.8	8.4	1855	18	1877.7	2.9	-0.1
180827-1-65	0.03	5.314	0.097	0.3356	0.0060	0.1131	0.0004	1871	16	1865	29	1850.4	3.1	0.9
180827-1-4	0.03	5.300	0.033	0.3357	0.0019	0.1134	0.0004	1868.9	5.4	1865.8	9.1	1854.2	4.3	0.1
180827-1-90	0.27	5.328	0.039	0.3372	0.0020	0.1145	0.0005	1873.4	6.2	1872.8	9.5	1870.1	4.3	0.6
180827-1-27	0.40	5.408	0.059	0.3397	0.0037	0.1159	0.0006	1885.8	9.4	1885	18	1896.8	6	0.6
180827-1-20	0.00	5.670	0.130	0.3464	0.0079	0.1180	0.0008	1926	20	1917	38	1929	12	2.0
180827-1-81	0.41	5.986	0.042	0.3581	0.0023	0.1194	0.0004	1973.4	6.1	1973	11	1950.1	3.9	-0.4
180827-1-100	0.43	6.017	0.060	0.3589	0.0037	0.1234	0.0002	1978.1	8.6	1977	18	2004.6	2.3	-0.4
180827-1-80	0.27	6.027	0.031	0.3597	0.0016	0.1218	0.0003	1979.5	4.5	1981.6	7.6	1982.1	2.1	0.5
180827-1-76	0.35	6.132	0.068	0.3620	0.0033	0.1253	0.0008	1994.9	9.8	1993	16	2033.2	6.7	-0.9
180827-1-31	0.42	7.524	0.063	0.3727	0.0024	0.1467	0.0005	2175.1	7.5	2042	11	2309	4.2	-12.3

**Table 3.** continued.

Sample Name	Th/U	$^{207}\text{Pb} / ^{235}\text{U}$	$2\sigma$	$^{206}\text{Pb} / ^{238}\text{U}$	$2\sigma$	$^{207}\text{Pb} / ^{206}\text{Pb}$	$2\sigma$	$^{235}\text{U}-^{207}\text{Pb}$ age (Ma)	$2\sigma$	$^{238}\text{U}-^{206}\text{Pb}$ age (Ma)	$2\sigma$	$^{207}\text{Pb}-^{206}\text{Pb}$ age (Ma)	$2\sigma$	Disc. (%)
180827-1-92	0.53	8.031	0.063	0.4142	0.0029	0.1417	0.0005	2234.6	6.9	2234	13	2249.1	3.9	0.1
180827-1-53	0.42	10.610	0.130	0.4167	0.0045	0.1872	0.0010	2491	12	2245	20	2715.6	6	-19.8
180827-1-78	1.13	10.620	0.070	0.4708	0.0032	0.1659	0.0007	2490	6.1	2487	14	2517.4	4.3	-0.5
<b>Sagok Fm. (180828-5; n=100)</b>														
180828-5-27	1.23	0.106	0.006	0.0160	0.0002	0.0481	0.0025	102	5.2	102.2	1.1	282	61	6.0
180828-5-45	0.32	0.111	0.007	0.0162	0.0002	0.0501	0.0032	107.6	6.5	103.4	1.1	387	62	3.3
180828-5-44	0.33	0.107	0.005	0.0164	0.0002	0.0471	0.0021	103.1	4.8	104.6	1.3	169	44	4.5
180828-5-35	0.66	0.172	0.003	0.0251	0.0003	0.0500	0.0008	161.5	2.7	160	1.7	201	24	1.8
180828-5-34	0.26	0.174	0.002	0.0256	0.0002	0.0496	0.0005	162.5	1.9	163.1	1.2	169	15	1.5
180828-5-24	0.53	0.173	0.003	0.0258	0.0002	0.0487	0.0009	161.9	2.7	163.9	1.2	181	23	1.2
180828-5-10	0.97	0.180	0.006	0.0258	0.0002	0.0505	0.0018	167.5	5.4	164.1	1.5	237	37	2.1
180828-5-7	0.30	0.176	0.002	0.0258	0.0002	0.0494	0.0006	164.8	2	164.15	0.98	172	17	1.4
180828-5-23	0.57	0.175	0.003	0.0258	0.0002	0.0494	0.0007	163.3	2.7	164.4	1.4	177	19	1.8
180828-5-25	0.69	0.171	0.007	0.0258	0.0003	0.0481	0.0019	160.1	6.2	164.4	2	271	46	2.4
180828-5-31	1.03	0.172	0.015	0.0260	0.0003	0.0489	0.0040	164	12	165.1	1.9	396	67	7.8
180828-5-52	0.75	0.176	0.008	0.0260	0.0002	0.0491	0.0023	165.7	6.8	165.5	1.4	339	47	4.8
180828-5-77	0.75	0.178	0.003	0.0261	0.0002	0.0490	0.0007	166.4	2.4	165.95	0.93	172	17	1.7
180828-5-67	0.31	0.176	0.003	0.0261	0.0002	0.0490	0.0006	165	2.2	166.2	1.1	148	17	1.3
180828-5-90	0.23	0.179	0.002	0.0261	0.0002	0.0494	0.0005	167.1	2	166.3	1.3	169	12	1.5
180828-5-88	0.08	0.180	0.003	0.0262	0.0002	0.0498	0.0006	167.8	2.2	166.9	1.3	182	14	1.6
180828-5-22	0.80	0.179	0.002	0.0262	0.0002	0.0495	0.0007	167.5	2	167	1.2	189	18	1.6
180828-5-81	0.75	0.177	0.007	0.0263	0.0002	0.0487	0.0018	164.6	5.8	167.3	1.3	279	38	2.7
180828-5-26	0.30	0.184	0.003	0.0267	0.0003	0.0505	0.0010	171.3	2.7	169.5	1.8	214	29	1.6
180828-5-59	0.31	0.187	0.004	0.0277	0.0002	0.0491	0.0008	174.3	3	176.3	1.4	176	20	1.4
180828-5-57	0.33	0.253	0.005	0.0279	0.0003	0.0653	0.0012	228.5	4.4	177.7	1.9	777	31	-25.0
180828-5-94	0.77	0.227	0.004	0.0325	0.0003	0.0511	0.0008	207.3	3.4	206.3	1.6	260	23	1.9
180828-5-72	0.68	0.227	0.004	0.0326	0.0003	0.0503	0.0007	207.6	3.1	206.9	1.6	214	20	1.9
180828-5-84	0.84	0.229	0.003	0.0327	0.0002	0.0506	0.0006	209.4	2.4	207.5	1.4	233	18	0.9
180828-5-33	0.23	0.238	0.006	0.0342	0.0004	0.0505	0.0013	216.5	5	216.4	2.5	248	40	3.4
180828-5-36	0.77	0.238	0.003	0.0342	0.0003	0.0507	0.0007	216.6	2.7	216.7	2	237	16	2.1
180828-5-47	2.20	0.240	0.005	0.0342	0.0004	0.0506	0.0010	217.9	4.3	216.7	2.2	224	28	2.4
180828-5-93	0.38	0.243	0.005	0.0346	0.0003	0.0513	0.0009	221	4.1	219.2	1.6	234	26	1.8
180828-5-91	0.82	0.241	0.009	0.0346	0.0005	0.0519	0.0017	219.1	7.5	219.3	2.9	325	48	4.7
180828-5-87	0.57	0.242	0.003	0.0346	0.0002	0.0512	0.0005	220.3	2.5	219.4	1.3	249	12	1.3
180828-5-65	1.67	0.243	0.007	0.0347	0.0003	0.0513	0.0013	222.1	5.2	219.9	2	303	31	2.3
180828-5-64	0.61	0.245	0.007	0.0348	0.0004	0.0512	0.0014	222.4	5.4	220.4	2.2	252	30	2.5
180828-5-73	1.29	0.246	0.005	0.0348	0.0003	0.0510	0.0009	222.7	3.9	220.5	1.6	261	25	1.5
180828-5-69	0.94	0.240	0.005	0.0348	0.0003	0.0502	0.0010	218.4	4.1	220.5	1.8	223	24	1.7
180828-5-66	1.85	0.243	0.005	0.0348	0.0003	0.0512	0.0010	220.6	3.9	220.5	1.8	239	28	2.5
180828-5-85	0.99	0.241	0.006	0.0348	0.0003	0.0499	0.0013	218.7	4.6	220.7	1.9	228	29	2.1
180828-5-71	1.44	0.242	0.011	0.0348	0.0004	0.0508	0.0022	219.2	8.6	220.7	2.4	359	47	4.3
180828-5-82	1.08	0.242	0.011	0.0348	0.0004	0.0506	0.0023	219.1	9.4	220.7	2.6	363	42	4.7
180828-5-100	0.79	0.244	0.004	0.0349	0.0003	0.0509	0.0007	221.3	2.9	221.4	1.8	242	15	2.1
180828-5-83	0.55	0.245	0.011	0.0352	0.0004	0.0512	0.0022	221.7	8.6	222.9	2.4	304	48	4.4
180828-5-28	0.45	0.247	0.008	0.0352	0.0003	0.0501	0.0016	223.6	6.5	223	1.9	243	41	3.5

**Table 3.** continued.

Sample Name	Th/U	$^{207}\text{Pb} / ^{235}\text{U}$	2 $\sigma$	$^{206}\text{Pb} / ^{238}\text{U}$	2 $\sigma$	$^{207}\text{Pb} / ^{206}\text{Pb}$	2 $\sigma$	$^{235}\text{U}-^{207}\text{Pb}$ age (Ma)	2 $\sigma$	$^{238}\text{U}-^{206}\text{Pb}$ age (Ma)	2 $\sigma$	$^{207}\text{Pb}-^{206}\text{Pb}$ age (Ma)	2 $\sigma$	Disc. (%)
180828-5-6	1.56	0.244	0.007	0.0353	0.0003	0.0500	0.0014	221	5.8	223.7	1.7	231	32	2.2
180828-5-15	0.93	0.243	0.005	0.0353	0.0003	0.0499	0.0011	221	4.4	223.8	1.9	224	27	1.6
180828-5-13	0.51	0.246	0.002	0.0354	0.0002	0.0504	0.0003	223.5	1.8	224.2	1.3	214.2	9.4	1.1
180828-5-86	0.96	0.250	0.006	0.0355	0.0003	0.0520	0.0010	226.4	4.5	224.9	2.1	281	21	2.3
180828-5-37	1.34	0.248	0.005	0.0355	0.0004	0.0510	0.0008	225	3.9	224.9	2.2	243	21	2.7
180828-5-21	1.29	0.250	0.004	0.0356	0.0004	0.0509	0.0006	226.2	3.2	225.4	2.2	247	14	2.0
180828-5-8	-0.10	0.246	0.006	0.0356	0.0003	0.0505	0.0012	224.4	4.7	225.6	1.8	250	27	2.4
180828-5-49	0.41	0.249	0.004	0.0357	0.0003	0.0508	0.0005	226	2.8	226	2	223	12	2.1
180828-5-29	0.04	0.248	0.006	0.0357	0.0004	0.0508	0.0015	225.1	5	226	2.5	245	32	2.9
180828-5-1	0.45	0.250	0.005	0.0359	0.0003	0.0502	0.0009	226.2	4.2	227.6	2	207	23	2.1
180828-5-2	0.28	0.260	0.004	0.0364	0.0006	0.0519	0.0006	234.4	3.1	230.7	3.6	275	10	1.3
180828-5-3	0.50	0.255	0.004	0.0365	0.0002	0.0505	0.0008	230.3	3	230.9	1.4	225	19	1.7
180828-5-32	0.03	0.306	0.012	0.0376	0.0008	0.0593	0.0019	270.7	9.2	237.7	4.6	579	28	-8.1
180828-5-39	0.05	0.425	0.008	0.0520	0.0005	0.0591	0.0011	359.6	6	326.6	3.2	593	26	-7.3
180828-5-11	0.69	0.410	0.017	0.0574	0.0007	0.0516	0.0019	350	12	359.7	4.1	303	48	1.8
180828-5-51	0.13	0.520	0.004	0.0682	0.0004	0.0550	0.0002	425.3	2.9	425.1	2.5	415	6.3	1.2
180828-5-46	0.31	0.811	0.015	0.0915	0.0015	0.0644	0.0007	602.9	8.4	564.5	8.9	753	15	-3.7
180828-5-78	0.57	1.037	0.018	0.1181	0.0016	0.0635	0.0013	722.3	8.8	719.6	9.1	714	25	2.1
180828-5-96	0.19	1.070	0.026	0.1202	0.0016	0.0634	0.0010	738	13	731.5	9.5	727	20	2.2
180828-5-55	0.40	1.159	0.023	0.1292	0.0013	0.0651	0.0011	780	11	783.1	7.7	786	21	2.0
180828-5-54	0.74	1.169	0.013	0.1293	0.0011	0.0657	0.0004	785.5	6.3	783.9	6.5	800	7.5	1.4
180828-5-80	0.83	1.180	0.012	0.1301	0.0008	0.0654	0.0006	791.4	5.4	788.1	4.3	795	13	0.8
180828-5-98	1.13	1.238	0.008	0.1351	0.0008	0.0669	0.0002	818	3.6	817	4.2	834.4	3.6	0.8
180828-5-48	0.01	2.171	0.022	0.1474	0.0013	0.1065	0.0004	1171.6	7.2	886.3	7.2	1740.2	3.6	-30.6
180828-5-50	0.19	1.577	0.017	0.1604	0.0014	0.0709	0.0003	961	6.7	959.2	7.6	950.9	5.9	1.3
180828-5-95	0.00	2.411	0.017	0.1697	0.0010	0.1030	0.0003	1245.7	5	1010.2	5.7	1677.8	3.2	-65.2
180828-5-43	0.20	2.230	0.023	0.2036	0.0018	0.0799	0.0004	1190.7	7.2	1194.3	9.7	1191.8	5.2	1.0
180828-5-20	0.08	3.451	0.062	0.2264	0.0038	0.1111	0.0006	1515	14	1315	20	1815.7	5.9	-36.1
180828-5-89	0.04	3.561	0.053	0.2340	0.0032	0.1114	0.0008	1541	12	1355	17	1826.5	6.3	-33.1
180828-5-38	0.14	3.782	0.041	0.2480	0.0022	0.1115	0.0006	1588.6	8.7	1428	11	1819.9	5.5	-26.3
180828-5-61	0.10	4.182	0.038	0.2668	0.0022	0.1130	0.0003	1669.8	7.6	1526	11	1850.8	3.8	-20.3
180828-5-12	0.01	4.280	0.100	0.2704	0.0056	0.1140	0.0004	1688	19	1548	30	1862.6	4.8	-18.1
180828-5-9	0.38	4.360	0.050	0.2743	0.0029	0.1141	0.0009	1704.5	9.6	1562	15	1869.1	6.1	-18.3
180828-5-60	0.46	4.299	0.064	0.2779	0.0037	0.1127	0.0006	1693	12	1581	19	1843.1	5.4	-15.0
180828-5-74	0.47	4.373	0.035	0.2821	0.0018	0.1116	0.0004	1707.9	6.8	1601.6	9.1	1825.3	3.7	-13.2
180828-5-53	0.07	4.415	0.035	0.2844	0.0022	0.1120	0.0003	1714.8	6.5	1615	11	1833.8	2.8	-12.7
180828-5-79	0.64	4.409	0.051	0.2849	0.0020	0.1127	0.0007	1713.5	9.7	1616	10	1840.7	6.5	-12.9
180828-5-97	0.10	4.498	0.041	0.2863	0.0020	0.1139	0.0003	1730.6	7.5	1623	10	1863.2	2.5	-14.0
180828-5-4	0.31	4.481	0.056	0.2870	0.0031	0.1128	0.0010	1727	10	1626	16	1842.8	8.4	-11.8
180828-5-42	0.08	4.726	0.090	0.2991	0.0050	0.1150	0.0006	1771	16	1686	25	1878.2	5.1	-9.6
180828-5-63	0.06	4.836	0.077	0.3022	0.0040	0.1159	0.0006	1790	13	1702	20	1891.7	6.6	-9.6
180828-5-5	0.14	4.800	0.140	0.3164	0.0079	0.1105	0.0017	1783	24	1771	39	1813	13	0.6
180828-5-17	0.67	4.965	0.091	0.3181	0.0048	0.1128	0.0011	1813	15	1780	24	1838.4	6.2	-1.6
180828-5-19	0.93	5.039	0.097	0.3239	0.0037	0.1131	0.0015	1825	16	1809	18	1851	11	-0.7
180828-5-14	0.35	5.116	0.087	0.3272	0.0058	0.1133	0.0010	1838	14	1825	28	1851.1	8.9	0.6
180828-5-16	0.24	5.165	0.039	0.3312	0.0024	0.1130	0.0003	1846.2	6.4	1844	11	1849.7	2.4	0.4

**Table 3.** continued.

Sample Name	Th/U	$^{207}\text{Pb} / ^{235}\text{U}$	$2\sigma$	$^{206}\text{Pb} / ^{238}\text{U}$	$2\sigma$	$^{207}\text{Pb} / ^{206}\text{Pb}$	$2\sigma$	$^{235}\text{U}-^{207}\text{Pb}$ age (Ma)	$2\sigma$	$^{238}\text{U}-^{206}\text{Pb}$ age (Ma)	$2\sigma$	$^{207}\text{Pb}-^{206}\text{Pb}$ age (Ma)	$2\sigma$	Disc. (%)
180828-5-99	0.26	5.183	0.067	0.3320	0.0038	0.1145	0.0008	1850	11	1848	18	1870.1	4.4	0.0
180828-5-76	0.21	5.258	0.094	0.3348	0.0046	0.1133	0.0007	1861	15	1861	22	1854.3	6.2	1.2
180828-5-68	0.26	5.254	0.056	0.3349	0.0036	0.1141	0.0004	1860.8	9.1	1862	17	1866.7	3.7	0.9
180828-5-56	0.19	5.281	0.085	0.3357	0.0037	0.1150	0.0008	1865	14	1866	18	1879.4	4.6	0.5
180828-5-40	0.56	5.284	0.077	0.3362	0.0039	0.1144	0.0008	1865	13	1868	19	1870	7.5	1.3
180828-5-75	0.57	5.330	0.120	0.3371	0.0064	0.1174	0.0011	1873	19	1872	31	1915.8	8.1	-0.3
180828-5-18	0.20	5.425	0.050	0.3376	0.0029	0.1163	0.0005	1888.6	7.8	1875	14	1902.6	5.5	-0.4
180828-5-92	0.39	5.400	0.081	0.3386	0.0045	0.1167	0.0007	1884	13	1880	22	1903.3	6.9	0.3
180828-5-62	0.14	5.394	0.039	0.3400	0.0028	0.1148	0.0004	1883.7	6.2	1886	13	1876.9	3.3	0.4
180828-5-58	0.49	5.442	0.078	0.3403	0.0044	0.1157	0.0008	1891	12	1888	21	1891.3	5.1	1.2
180828-5-30	0.26	5.498	0.083	0.3428	0.0048	0.1176	0.0006	1904	11	1900	23	1924.7	4.5	0.1
180828-5-70	0.50	5.607	0.078	0.3446	0.0044	0.1174	0.0011	1916	12	1912	22	1909.7	9.5	1.5
180828-5-41	0.46	10.440	0.140	0.4658	0.0054	0.1632	0.0006	2477	11	2465	24	2490	2.6	0.1
<b>Sagok Fm. (180828-6; n=100)</b>														
180828-6-78	0.45	0.104	0.004	0.0156	0.0002	0.0491	0.0022	100.8	4	99.8	1.2	214	43	4.2
180828-6-50	0.70	0.101	0.009	0.0157	0.0003	0.0478	0.0040	98.4	8.1	100.6	2.2	272	81	8.2
180828-6-53	0.76	0.109	0.004	0.0164	0.0002	0.0479	0.0016	105.1	3.5	104.8	1.5	207	39	4.5
180828-6-60	1.15	0.111	0.007	0.0165	0.0003	0.0482	0.0032	106.6	6.6	105.6	1.8	339	69	7.0
180828-6-36	0.32	0.112	0.003	0.0167	0.0003	0.0481	0.0009	108.1	2.4	107	1.7	120	21	2.8
180828-6-34	0.74	0.111	0.007	0.0168	0.0003	0.0470	0.0029	106.7	5.9	107.3	1.6	364	66	6.5
180828-6-93	0.26	0.113	0.006	0.0168	0.0003	0.0492	0.0026	108.7	5.6	107.3	1.8	265	51	5.6
180828-6-65	0.71	0.117	0.006	0.0170	0.0003	0.0498	0.0027	112	5.4	108.5	1.9	250	62	3.5
180828-6-4	0.63	0.116	0.010	0.0173	0.0006	0.0487	0.0039	110.9	9.1	110.7	3.5	500	290	11.2
180828-6-86	0.58	0.124	0.014	0.0174	0.0005	0.0522	0.0060	119	13	110.9	3.3	310	100	7.4
180828-6-74	0.69	0.115	0.003	0.0174	0.0002	0.0477	0.0013	110.4	3.1	111.5	1.4	152	24	3.1
180828-6-63	0.56	0.116	0.003	0.0175	0.0003	0.0476	0.0009	111.7	2.5	111.9	1.6	128	27	3.5
180828-6-70	0.44	0.169	0.003	0.0248	0.0003	0.0491	0.0009	158.1	3	157.7	1.6	165	20	2.7
180828-6-77	0.37	0.168	0.003	0.0248	0.0003	0.0496	0.0010	157.6	2.7	157.7	1.6	168	21	2.7
180828-6-72	0.41	0.173	0.004	0.0254	0.0005	0.0494	0.0010	161.6	3.2	161.7	2.9	172	20	3.7
180828-6-9	0.43	0.174	0.004	0.0257	0.0002	0.0493	0.0010	162.7	3.5	163.5	1.4	175	25	2.5
180828-6-58	0.32	0.191	0.005	0.0257	0.0004	0.0530	0.0011	177.7	4.3	163.6	2.4	341	26	-4.5
180828-6-29	0.78	0.177	0.006	0.0258	0.0003	0.0503	0.0017	166.6	5.1	164.2	2.1	310	40	2.9
180828-6-13	0.60	0.178	0.003	0.0261	0.0002	0.0498	0.0007	166.4	2.6	166	1.2	183	18	2.0
180828-6-90	1.11	0.176	0.005	0.0261	0.0002	0.0492	0.0013	164.7	4.2	166	1.4	214	37	2.6
180828-6-51	0.23	0.176	0.005	0.0262	0.0005	0.0492	0.0013	164.5	4.4	166.9	3.1	148	17	3.1
180828-6-25	0.81	0.180	0.005	0.0263	0.0003	0.0506	0.0010	168.9	3.8	167	2.1	209	27	2.4
180828-6-20	0.04	0.178	0.006	0.0263	0.0003	0.0500	0.0015	166	4.9	167.1	1.8	193	27	3.4
180828-6-81	0.10	0.180	0.004	0.0263	0.0002	0.0496	0.0009	167.7	3	167.1	1.3	201	23	2.2
180828-6-52	0.59	0.179	0.004	0.0263	0.0003	0.0496	0.0011	167.4	3.4	167.2	2	171	27	3.1
180828-6-21	0.89	0.180	0.008	0.0264	0.0004	0.0502	0.0019	168	6.9	167.9	2.5	215	43	5.5
180828-6-24	0.14	0.182	0.003	0.0264	0.0003	0.0503	0.0008	169.4	2.6	167.9	1.6	218	18	1.6
180828-6-75	1.11	0.179	0.009	0.0264	0.0004	0.0509	0.0023	166.7	7.4	167.9	2.3	244	39	5.1
180828-6-98	0.54	0.181	0.003	0.0264	0.0004	0.0498	0.0009	169.2	2.5	167.9	2.6	196	28	2.3
180828-6-2	0.34	0.178	0.004	0.0264	0.0003	0.0492	0.0007	167	3.5	168.2	2	184	22	2.6
180828-6-76	0.36	0.180	0.003	0.0264	0.0002	0.0502	0.0007	168.3	2.4	168.2	1.1	205	18	2.0

**Table 3.** continued.

Sample Name	Th/U	$^{207}\text{Pb} / ^{235}\text{U}$	$2\sigma$	$^{206}\text{Pb} / ^{238}\text{U}$	$2\sigma$	$^{207}\text{Pb} / ^{206}\text{Pb}$	$2\sigma$	$^{235}\text{U}-^{207}\text{Pb}$ age (Ma)	$2\sigma$	$^{238}\text{U}-^{206}\text{Pb}$ age (Ma)	$2\sigma$	$^{207}\text{Pb}-^{206}\text{Pb}$ age (Ma)	$2\sigma$	Disc. (%)
180828-6-6	0.84	0.180	0.013	0.0265	0.0006	0.0508	0.0030	172	12	168.3	3.8	315	56	7.2
180828-6-61	0.16	0.181	0.005	0.0265	0.0004	0.0506	0.0013	169.2	4.4	168.4	2.5	215	28	3.6
180828-6-1	0.22	0.179	0.006	0.0265	0.0004	0.0497	0.0015	167.2	5.4	168.6	2.3	213	45	3.8
180828-6-73	0.58	0.182	0.009	0.0265	0.0005	0.0511	0.0028	170.4	8	168.7	3	365	49	5.5
180828-6-99	0.46	0.185	0.005	0.0265	0.0005	0.0505	0.0013	172.5	4.7	168.7	3.1	191	36	2.4
180828-6-69	0.83	0.177	0.007	0.0265	0.0004	0.0487	0.0020	167	6.4	168.8	2.6	305	48	4.3
180828-6-55	1.20	0.183	0.009	0.0266	0.0003	0.0501	0.0023	170.2	7.5	169	2.1	288	42	5.0
180828-6-88	1.28	0.179	0.006	0.0266	0.0003	0.0491	0.0014	167.4	5	169	2.1	182	37	3.3
180828-6-10	0.09	0.182	0.003	0.0266	0.0003	0.0501	0.0009	169.4	2.9	169.1	1.9	189	21	2.7
180828-6-87	0.19	0.183	0.004	0.0266	0.0004	0.0491	0.0008	170.3	3.5	169.1	2.4	163	19	2.8
180828-6-35	0.90	0.184	0.004	0.0266	0.0003	0.0499	0.0011	171.4	3.6	169.2	1.8	201	28	1.9
180828-6-71	0.17	0.181	0.007	0.0267	0.0005	0.0487	0.0014	168.8	6	169.6	2.8	162	30	4.7
180828-6-48	0.21	0.185	0.006	0.0267	0.0004	0.0517	0.0018	172.2	5.4	169.9	2.6	283	29	3.4
180828-6-41	1.31	0.177	0.011	0.0267	0.0005	0.0498	0.0030	165.4	9.3	170	3	224	50	4.7
180828-6-62	0.90	0.191	0.016	0.0268	0.0006	0.0508	0.0038	176	13	170.3	3.6	389	72	6.4
180828-6-94	0.97	0.186	0.010	0.0268	0.0005	0.0504	0.0024	173.9	8.7	170.3	3.2	279	53	4.9
180828-6-8	0.33	0.182	0.004	0.0268	0.0003	0.0496	0.0009	169.2	3.4	170.6	1.8	189	18	2.2
180828-6-85	0.36	0.184	0.006	0.0269	0.0006	0.0492	0.0013	172.6	5.3	170.8	3.5	179	21	4.1
180828-6-49	0.37	0.182	0.003	0.0269	0.0003	0.0497	0.0008	169.8	2.7	171.3	1.6	182	25	1.6
180828-6-97	0.83	0.204	0.016	0.0277	0.0008	0.0535	0.0043	187	14	176.3	4.7	438	76	4.5
180828-6-37	0.39	0.195	0.004	0.0281	0.0002	0.0499	0.0009	180.9	3.1	178.3	1.5	215	23	1.1
180828-6-33	0.03	0.196	0.004	0.0283	0.0003	0.0500	0.0008	181.9	3.3	179.6	1.6	209	18	1.4
180828-6-3	0.91	0.207	0.014	0.0291	0.0009	0.0495	0.0030	190	11	184.9	5.8	333	72	6.3
180828-6-44	0.87	0.530	0.044	0.0330	0.0006	0.1173	0.0088	423	30	209.3	3.7	1870	160	-86.0
180828-6-39	0.50	0.245	0.004	0.0349	0.0003	0.0507	0.0006	222.6	3.1	221.2	1.9	218	14	1.6
180828-6-79	0.57	0.243	0.007	0.0356	0.0005	0.0499	0.0014	221	5.6	225.2	3	216	32	2.0
180828-6-45	0.32	0.270	0.008	0.0382	0.0005	0.0512	0.0015	242.3	6.4	241.7	3.3	278	38	3.8
180828-6-30	0.01	0.274	0.006	0.0383	0.0014	0.0533	0.0013	246.2	5.1	242.6	8.5	362	24	4.1
180828-6-38	0.46	0.450	0.013	0.0595	0.0009	0.0543	0.0012	376.8	8.9	372.6	5.2	399	26	2.7
180828-6-56	0.31	0.525	0.008	0.0685	0.0005	0.0560	0.0006	427.8	5	426.8	3.2	464	11	1.7
180828-6-67	0.24	0.724	0.010	0.0893	0.0007	0.0586	0.0006	552.7	5.7	551.6	4.3	556.8	8.6	1.6
180828-6-40	-0.01	1.679	0.020	0.1105	0.0010	0.1102	0.0008	1001	7.6	675.8	5.6	1802.2	9.2	-46.2
180828-6-22	0.04	2.154	0.027	0.1432	0.0017	0.1095	0.0007	1165.7	8.9	862.6	9.5	1790.9	6.5	-33.0
180828-6-23	0.03	2.382	0.042	0.1592	0.0022	0.1082	0.0011	1236	12	952	12	1771	10	-27.3
180828-6-83	0.05	2.373	0.041	0.1663	0.0017	0.1025	0.0011	1234	12	991.6	9.3	1673	8.4	-22.3
180828-6-95	0.30	3.640	0.110	0.2414	0.0055	0.1139	0.0038	1557	24	1394	28	1860	17	-30.2
180828-6-92	0.09	3.733	0.046	0.2469	0.0027	0.1110	0.0006	1579	10	1422	14	1818	4.7	-26.5
180828-6-42	0.44	3.960	0.140	0.2609	0.0060	0.1113	0.0018	1625	29	1494	31	1821	10	-19.1
180828-6-100	0.47	4.202	0.087	0.2638	0.0046	0.1144	0.0017	1675	17	1509	24	1872	13	-21.6
180828-6-5	0.01	4.482	0.056	0.2777	0.0035	0.1166	0.0006	1727	10	1580	18	1903.7	5.3	-19.0
180828-6-57	0.38	4.329	0.043	0.2801	0.0020	0.1129	0.0006	1698.6	8.1	1592	10	1846.1	4.2	-15.1
180828-6-84	0.29	4.310	0.100	0.2803	0.0043	0.1110	0.0016	1697	20	1593	22	1820	10	-12.2
180828-6-14	0.51	4.420	0.100	0.2893	0.0044	0.1122	0.0017	1715	20	1638	22	1839	14	-10.1
180828-6-66	0.05	4.520	0.220	0.2920	0.0120	0.1147	0.0028	1733	39	1649	59	1877	14	-9.4
180828-6-11	0.00	4.610	0.210	0.2920	0.0110	0.1153	0.0013	1748	37	1652	57	1889.4	7.9	-10.4
180828-6-32	0.04	4.662	0.097	0.2969	0.0049	0.1130	0.0012	1760	17	1676	24	1847.5	6.6	-8.4

**Table 3.** continued.

Sample Name	Th/U	$^{207}\text{Pb} / ^{235}\text{U}$	$2\sigma$	$^{206}\text{Pb} / ^{238}\text{U}$	$2\sigma$	$^{207}\text{Pb} / ^{206}\text{Pb}$	$2\sigma$	$^{235}\text{U}-^{207}\text{Pb}$ age (Ma)	$2\sigma$	$^{238}\text{U}-^{206}\text{Pb}$ age (Ma)	$2\sigma$	$^{207}\text{Pb}-^{206}\text{Pb}$ age (Ma)	$2\sigma$	Disc. (%)
180828-6-89	0.47	4.619	0.052	0.2971	0.0025	0.1128	0.0007	1752.4	9.5	1677	13	1844.8	5.2	-8.9
180828-6-91	0.03	4.672	0.056	0.2974	0.0027	0.1153	0.0006	1763	10	1678	13	1886.6	4.8	-11.4
180828-6-54	0.31	4.360	0.130	0.2980	0.0110	0.1102	0.0020	1705	25	1680	54	1807	14	-3.5
180828-6-26	0.45	4.677	0.091	0.2991	0.0045	0.1155	0.0014	1764	16	1686	22	1890.6	9	-10.3
180828-6-18	0.36	4.679	0.094	0.3002	0.0030	0.1133	0.0022	1763	17	1692	15	1864	19	-8.2
180828-6-68	0.32	4.695	0.089	0.3014	0.0044	0.1114	0.0011	1765	16	1698	22	1832.2	8	-6.1
180828-6-59	0.43	4.830	0.130	0.3171	0.0073	0.1131	0.0021	1789	23	1775	36	1845	10	-1.4
180828-6-43	0.36	4.930	0.110	0.3221	0.0057	0.1126	0.0013	1806	18	1800	28	1843	13	-0.1
180828-6-19	0.53	5.080	0.200	0.3280	0.0110	0.1142	0.0020	1831	33	1828	54	1867	16	1.7
180828-6-15	0.37	5.158	0.085	0.3302	0.0042	0.1135	0.0008	1845	14	1839	20	1856.7	6.4	0.5
180828-6-12	0.77	5.180	0.130	0.3316	0.0068	0.1132	0.0015	1849	22	1846	33	1850	16	2.4
180828-6-31	0.11	5.160	0.100	0.3317	0.0056	0.1150	0.0010	1845	16	1846	27	1889.7	9	-0.4
180828-6-96	0.14	5.150	0.160	0.3316	0.0078	0.1136	0.0015	1844	27	1846	38	1872	15	1.5
180828-6-82	0.18	5.240	0.110	0.3328	0.0065	0.1140	0.0009	1858	17	1852	31	1860	8.7	1.7
180828-6-17	0.44	5.250	0.110	0.3337	0.0058	0.1145	0.0012	1861	18	1856	28	1880.1	7.7	0.6
180828-6-28	0.31	5.250	0.120	0.3337	0.0056	0.1144	0.0013	1859	19	1856	27	1873.1	5	0.8
180828-6-16	0.35	5.322	0.097	0.3367	0.0067	0.1153	0.0013	1872	16	1870	32	1893	15	1.3
180828-6-64	0.68	5.370	0.310	0.3390	0.0180	0.1146	0.0023	1873	49	1877	85	1895	22	4.7
180828-6-47	0.47	6.580	0.120	0.3540	0.0060	0.1410	0.0018	2057	17	1954	29	2236	10	-12.4
180828-6-7	0.37	6.640	0.310	0.3710	0.0120	0.1298	0.0036	2064	42	2036	59	2093	24	1.3
180828-6-27	0.32	7.200	0.150	0.3930	0.0078	0.1360	0.0014	2135	19	2136	36	2187	11	-0.2
180828-6-46	0.48	8.870	0.380	0.4270	0.0180	0.1558	0.0024	2323	39	2292	81	2413.8	6.6	-1.5
180828-6-80	0.37	16.700	0.350	0.5730	0.0100	0.2156	0.0016	2926	19	2919	42	2940.6	5.5	0.9

**Chunsan Fm. (180828-3; n=100)**

180828-3-67	0.70	0.106	0.006	0.0159	0.0002	0.0473	0.0028	102.2	5.8	101.7	1.1	292	74	6.3
180828-3-7	0.77	0.105	0.006	0.0160	0.0002	0.0482	0.0030	101	5.5	102.4	1.2	200	140	5.2
180828-3-48	0.40	0.106	0.003	0.0161	0.0002	0.0480	0.0012	102.3	2.7	102.75	0.96	109	31	3.1
180828-3-77	0.56	0.108	0.009	0.0161	0.0003	0.0476	0.0039	103.5	8.2	102.8	1.8	222	78	9.0
180828-3-19	0.91	0.105	0.005	0.0161	0.0002	0.0469	0.0023	101.3	4.8	102.9	1	249	43	4.1
180828-3-85	0.46	0.108	0.003	0.0163	0.0003	0.0484	0.0008	104.2	2.4	104.1	1.6	139	26	3.7
180828-3-2	0.65	0.216	0.006	0.0229	0.0001	0.0606	0.0016	198.2	4.6	146.13	0.83	593	58	-31.9
180828-3-46	0.55	0.177	0.002	0.0258	0.0001	0.0496	0.0007	165.7	2.2	164.47	0.85	187	20	1.1
180828-3-43	0.25	0.181	0.006	0.0259	0.0003	0.0500	0.0019	168.9	5.4	165	1.7	238	42	1.9
180828-3-24	0.27	0.274	0.012	0.0260	0.0004	0.0769	0.0025	245.6	9.7	165.6	2.4	1121	40	-41.0
180828-3-35	0.49	0.178	0.003	0.0261	0.0003	0.0493	0.0006	166	2.4	165.8	2.1	152	17	2.6
180828-3-69	0.45	0.179	0.003	0.0262	0.0003	0.0500	0.0005	167.1	2.2	166.9	1.7	189	16	2.2
180828-3-94	0.29	0.178	0.003	0.0262	0.0003	0.0497	0.0008	166.4	2.9	166.9	1.9	186	19	2.6
180828-3-96	0.40	0.179	0.003	0.0263	0.0003	0.0500	0.0008	166.9	2.3	167	2.1	198	24	2.6
180828-3-78	0.51	0.178	0.006	0.0263	0.0002	0.0493	0.0016	165.9	5.1	167	1.3	170	46	3.2
180828-3-45	0.42	0.180	0.003	0.0263	0.0002	0.0492	0.0007	168.1	2.6	167.1	1.4	166	20	1.8
180828-3-26	0.47	0.178	0.004	0.0263	0.0002	0.0494	0.0010	166	3.4	167.2	1.4	176	25	2.2
180828-3-42	0.59	0.180	0.002	0.0263	0.0002	0.0494	0.0005	167.8	2.1	167.3	1.1	176	14	1.6
180828-3-63	0.11	0.181	0.002	0.0263	0.0002	0.0495	0.0006	168.7	1.5	167.5	1.4	180.1	9.5	1.0
180828-3-53	0.11	0.179	0.002	0.0264	0.0002	0.0495	0.0005	167.3	1.5	167.7	1	175	13	1.3
180828-3-32	0.46	0.183	0.002	0.0266	0.0002	0.0497	0.0005	170.3	1.7	169.5	1.1	176	15	1.2

**Table 3.** continued.

Sample Name	Th/U	$^{207}\text{Pb} / ^{235}\text{U}$	$2\sigma$	$^{206}\text{Pb} / ^{238}\text{U}$	$2\sigma$	$^{207}\text{Pb} / ^{206}\text{Pb}$	$2\sigma$	$^{235}\text{U}-^{207}\text{Pb}$ age (Ma)	$2\sigma$	$^{238}\text{U}-^{206}\text{Pb}$ age (Ma)	$2\sigma$	$^{207}\text{Pb}-^{206}\text{Pb}$ age (Ma)	$2\sigma$	Disc. (%)
180828-3-33	1.59	0.178	0.031	0.0268	0.0005	0.0501	0.0080	168	26	170.1	3	610	140	16.0
180828-3-40	0.39	0.182	0.003	0.0268	0.0002	0.0489	0.0006	169.3	2.3	170.4	1.3	148	16	1.5
180828-3-30	0.38	0.183	0.002	0.0268	0.0002	0.0496	0.0006	170.5	2	170.5	1.1	185	13	1.8
180828-3-21	0.36	0.184	0.003	0.0269	0.0003	0.0498	0.0006	171.4	2.3	171.2	2.1	185	13	2.5
180828-3-91	0.53	0.185	0.004	0.0270	0.0004	0.0501	0.0011	172.4	3.8	171.7	2.2	196	27	3.1
180828-3-68	0.75	0.178	0.014	0.0270	0.0003	0.0479	0.0037	166	12	171.7	1.9	409	65	4.9
180828-3-14	0.40	0.183	0.002	0.0270	0.0002	0.0490	0.0004	170.8	1.9	171.8	1.5	153.2	7.7	1.4
180828-3-72	0.53	0.186	0.015	0.0270	0.0004	0.0501	0.0040	172	13	171.8	2.6	409	95	9.0
180828-3-84	0.47	0.184	0.003	0.0270	0.0003	0.0495	0.0007	171.4	2.4	171.9	1.7	172	16	2.1
180828-3-9	0.38	0.184	0.003	0.0270	0.0003	0.0498	0.0007	171.3	2.8	171.9	1.9	190	16	2.4
180828-3-50	0.37	0.185	0.002	0.0271	0.0002	0.0497	0.0003	172.5	1.3	172.1	1	177.9	8.3	1.1
180828-3-66	0.78	0.184	0.013	0.0271	0.0003	0.0495	0.0035	173	11	172.1	2.1	308	64	7.1
180828-3-22	0.66	0.185	0.002	0.0271	0.0002	0.0494	0.0005	172	1.9	172.3	1.2	178	12	1.6
180828-3-31	0.35	0.188	0.004	0.0271	0.0002	0.0502	0.0010	175.1	3.6	172.4	1.3	205	30	1.3
180828-3-71	0.28	0.187	0.002	0.0271	0.0003	0.0502	0.0004	174.1	2.1	172.5	1.6	194	12	1.2
180828-3-92	0.77	0.186	0.004	0.0271	0.0002	0.0501	0.0010	173.3	3.1	172.5	1.5	198	18	2.2
180828-3-10	0.45	0.184	0.003	0.0272	0.0002	0.0494	0.0006	171.7	2.1	172.9	1.3	163	14	1.3
180828-3-80	0.54	0.184	0.003	0.0272	0.0003	0.0489	0.0007	171.4	2.8	173	1.7	157	19	1.7
180828-3-18	0.38	0.185	0.003	0.0272	0.0003	0.0491	0.0005	172.5	2.3	173.2	1.7	162	12	1.9
180828-3-98	0.63	0.190	0.006	0.0272	0.0004	0.0509	0.0014	176.4	5.1	173.2	2.4	231	28	2.5
180828-3-15	0.18	0.187	0.003	0.0273	0.0002	0.0496	0.0008	173.7	2.5	173.4	1	185	20	1.8
180828-3-20	0.15	0.187	0.002	0.0273	0.0002	0.0497	0.0004	174	1.3	173.5	1.3	186.4	8.6	1.2
180828-3-100	0.44	0.186	0.003	0.0275	0.0002	0.0494	0.0007	173.3	2.3	174.87	0.99	177	17	1.0
180828-3-79	0.67	0.179	0.016	0.0275	0.0004	0.0472	0.0042	166	14	174.9	2.4	349	78	4.5
180828-3-38	0.11	0.187	0.004	0.0276	0.0003	0.0490	0.0010	174.2	3.4	175.6	1.6	148	18	2.1
180828-3-62	0.55	0.258	0.008	0.0332	0.0005	0.0561	0.0017	233	6.6	210.4	2.8	468	31	-6.3
180828-3-76	1.03	0.248	0.006	0.0355	0.0003	0.0504	0.0011	224.4	4.4	224.6	1.6	228	26	2.6
180828-3-99	0.61	0.250	0.006	0.0355	0.0003	0.0513	0.0013	227.2	5.3	224.8	1.8	273	24	2.1
180828-3-83	0.79	0.250	0.007	0.0355	0.0003	0.0512	0.0014	226.3	5.3	224.8	1.8	281	33	2.5
180828-3-88	0.01	0.257	0.004	0.0367	0.0003	0.0510	0.0006	232.3	3.1	232.1	2	232	14	2.1
180828-3-56	0.55	0.259	0.003	0.0369	0.0002	0.0508	0.0005	234.1	2.5	233.8	1.5	223	13	1.6
180828-3-52	0.05	0.260	0.006	0.0371	0.0002	0.0515	0.0012	234.9	5.1	234.7	1.3	290	24	2.6
180828-3-57	0.64	3.044	0.070	0.0493	0.0006	0.4441	0.0049	1416	18	310.1	3.7	4064	16	-349.6
180828-3-6	-0.40	0.420	0.220	0.0543	0.0028	0.0610	0.0350	330	170	341	17	1110	670	53.3
180828-3-90	0.45	0.433	0.008	0.0578	0.0007	0.0548	0.0009	365.1	5.5	362.2	4.4	424	20	1.9
180828-3-55	0.05	0.487	0.002	0.0646	0.0002	0.0548	0.0002	402.8	1.5	403.6	1.4	407.3	3.9	0.5
180828-3-97	0.50	0.527	0.008	0.0690	0.0004	0.0556	0.0007	429.2	5.3	430.3	2.6	420	16	1.6
180828-3-12	0.35	0.625	0.026	0.0795	0.0017	0.0592	0.0035	493	17	493	10	582	36	5.5
180828-3-25	0.23	1.015	0.008	0.0852	0.0005	0.0872	0.0005	711.1	4.1	527.1	3.1	1365.8	9.6	-33.5
180828-3-1	0.52	1.060	0.007	0.1058	0.0005	0.0644	0.0003	733.5	3.3	648.5	2.7	747.4	5.8	-12.2
180828-3-36	0.74	1.061	0.056	0.1202	0.0030	0.0620	0.0028	731	27	733	17	698	58	5.7
180828-3-47	0.63	1.104	0.039	0.1232	0.0028	0.0656	0.0023	755	19	749	16	838	49	3.9
180828-3-93	0.61	1.205	0.029	0.1310	0.0020	0.0670	0.0012	806	12	793	11	849	30	1.3
180828-3-28	1.01	1.254	0.011	0.1368	0.0008	0.0668	0.0005	825.2	4.8	826.4	4.4	825	12	1.0
180828-3-11	0.80	1.330	0.026	0.1426	0.0015	0.0681	0.0011	857	11	859.3	8.5	861	19	2.0
180828-3-65	0.87	1.388	0.017	0.1460	0.0011	0.0688	0.0007	883.2	7.1	878.5	5.9	888	17	0.9

**Table 3.** continued.

Sample Name	Th/U	$^{207}\text{Pb} / ^{235}\text{U}$	$2\sigma$	$^{206}\text{Pb} / ^{238}\text{U}$	$2\sigma$	$^{207}\text{Pb} / ^{206}\text{Pb}$	$2\sigma$	$^{235}\text{U}-^{207}\text{Pb}$ age (Ma)	$2\sigma$	$^{238}\text{U}-^{206}\text{Pb}$ age (Ma)	$2\sigma$	$^{207}\text{Pb}-^{206}\text{Pb}$ age (Ma)	$2\sigma$	Disc. (%)
180828-3-61	0.07	1.422	0.047	0.1490	0.0041	0.0684	0.0005	898	20	895	23	881.7	8.9	4.5
180828-3-59	0.34	2.316	0.019	0.1580	0.0012	0.1052	0.0005	1218	5.8	945.4	6.4	1723.6	5.1	-27.5
180828-3-54	1.32	1.545	0.019	0.1588	0.0013	0.0711	0.0007	949.3	8	950.2	7.2	964	12	1.5
180828-3-3	0.03	3.086	0.055	0.1764	0.0029	0.1123	0.0009	1429	14	1047	16	1832.8	5.5	-73.0
180828-3-17	0.57	2.174	0.034	0.1991	0.0024	0.0793	0.0008	1173	11	1170	13	1182.9	9	0.8
180828-3-41	0.02	3.929	0.029	0.2512	0.0016	0.1124	0.0003	1619.1	6	1444.3	8.5	1838.6	2.5	-26.5
180828-3-16	0.01	4.017	0.033	0.2605	0.0020	0.1119	0.0002	1636.9	6.8	1492	10	1831.5	2.8	-21.9
180828-3-64	0.07	4.150	0.058	0.2669	0.0036	0.1122	0.0006	1666	12	1525	19	1834.9	7.4	-18.6
180828-3-13	0.13	4.069	0.036	0.2708	0.0018	0.1096	0.0003	1648.2	7.2	1544.7	9.2	1792.9	4.1	-15.2
180828-3-51	0.10	4.367	0.031	0.2753	0.0019	0.1162	0.0003	1705.9	5.8	1567.4	9.6	1899	2.7	-20.4
180828-3-5	0.32	4.835	0.049	0.2756	0.0027	0.1134	0.0004	1790.5	8.5	1569	14	1852.4	3.7	-16.9
180828-3-29	0.76	3.709	0.049	0.2775	0.0031	0.0976	0.0005	1573	10	1579	16	1577.5	3.9	1.2
180828-3-4	0.53	4.972	0.099	0.2812	0.0047	0.1138	0.0008	1814	17	1597	24	1860	4.6	-14.7
180828-3-87	0.15	4.472	0.028	0.2870	0.0018	0.1131	0.0003	1726	5.2	1626.3	8.8	1849.5	2.3	-13.0
180828-3-86	0.97	4.270	0.060	0.2967	0.0040	0.1039	0.0009	1686	11	1674	20	1694	10	0.6
180828-3-60	0.53	4.853	0.028	0.3084	0.0017	0.1128	0.0003	1794.3	4.9	1732.4	8.3	1846	2.4	-5.9
180828-3-89	0.61	5.040	0.120	0.3241	0.0053	0.1133	0.0014	1825	20	1809	26	1852.7	8.8	-0.5
180828-3-74	0.22	5.064	0.062	0.3246	0.0038	0.1132	0.0010	1830	10	1812	18	1854.6	8.4	-0.9
180828-3-75	0.35	5.124	0.064	0.3293	0.0039	0.1135	0.0005	1840	11	1835	19	1856.7	3.7	0.1
180828-3-23	0.51	5.170	0.099	0.3310	0.0051	0.1144	0.0010	1847	16	1843	25	1872.3	8	0.2
180828-3-95	0.03	5.177	0.051	0.3319	0.0032	0.1142	0.0003	1848.2	8.4	1849	15	1867.1	3.2	0.0
180828-3-58	0.24	5.296	0.037	0.3349	0.0024	0.1135	0.0003	1868	6	1862	12	1857.3	3.5	0.6
180828-3-49	0.04	5.272	0.033	0.3355	0.0019	0.1144	0.0003	1864	5.4	1864.9	9.1	1870.2	2.5	0.3
180828-3-44	0.12	5.333	0.040	0.3369	0.0031	0.1138	0.0004	1874	6.4	1872	15	1860.7	3.7	0.4
180828-3-37	0.32	5.300	0.130	0.3363	0.0073	0.1136	0.0009	1868	20	1877	33	1860.4	6.2	1.2
180828-3-39	0.24	5.435	0.056	0.3409	0.0033	0.1149	0.0004	1889.7	8.8	1891	16	1879.5	3.5	0.4
180828-3-27	0.10	5.643	0.037	0.3476	0.0019	0.1183	0.0004	1923.1	5.8	1923.1	9	1931.2	3.8	0.2
180828-3-34	0.06	6.810	0.150	0.3503	0.0045	0.1399	0.0013	2085	19	1935	22	2228	16	-13.2
180828-3-73	0.21	6.310	0.074	0.3655	0.0039	0.1252	0.0004	2019	10	2008	19	2031.1	3.7	0.0
180828-3-70	1.04	7.320	0.140	0.3895	0.0086	0.1363	0.0020	2151	17	2120	40	2178	15	-0.1
180828-3-81	0.42	8.189	0.089	0.4192	0.0040	0.1417	0.0004	2251.2	9.8	2256	18	2248.1	3.7	0.6
180828-3-8	0.36	8.811	0.084	0.4327	0.0032	0.1497	0.0007	2320.2	9	2318	14	2344	3.2	-0.4
180828-3-82	0.48	10.390	0.160	0.4666	0.0060	0.1594	0.0010	2470	14	2468	26	2452.7	8.1	0.8

어진 반면, 중기 쥬라기 저어콘이 29%와 41%로 많아졌다. 이외에도 사곡층은 후기 트라이아스기 저어콘이 약 20% 비중을 차지하고 있다. 한편, 서로 멀리 떨어지지 않은 두 시료(180828-5, 6; 그림 1)의 저어콘 연대분포에서 저어콘 연대분포가 서로 다른데, 상대적으로 하부인 180828-5 시료는 하부층인 점곡층 보다도 후기 트라이아스기 저어콘이 많다. 반면, 상대적으로 상부인 180828-6 시료는 상부층인 춘산층처럼 중기 쥬라기 저어콘이 가장 많고 전기 백악기 저어콘도 180828-5 보다 많은 13%를 차지한다. 이

와 같은 차이는 사곡층이 퇴적되는 동안에 기원지 유역의 변화가 있었음을 의미한다.

의성소분지의 경계부에 있는 밀양소분지의 함안층과 반야월층의 시료는 서로 유사하지 않다. 함안층 시료는 의성소분지의 사곡층 시료와 유사한 쇄설성 저어콘 연대 분포를 보인다. 사곡층과 마찬가지로 중기 쥬라기와 고원생대-시생대 저어콘이 모두 22%로 유사한 비중을 보인다. 함안층 시료에서 가장 많이 나타나는 저어콘은 후기 트라이아스기 저어콘으로 전체 저어콘의 31%를 차지하고 있다. 반면

반야월층 시료에서는 고원생대-시생대 저어콘과 백악기 저어콘이 각각 39%와 38%로 유사한 비율로 함유되어 있다. 백악기 저어콘 중에서는 전기 백악기 저어콘이 26%로 후기 백악기 저어콘 보다 약 2배 많다.

## 5. 토의

### 5.1 최대퇴적시기

각 시료에서 산출하는 쇄설성 저어콘 입자 중 가

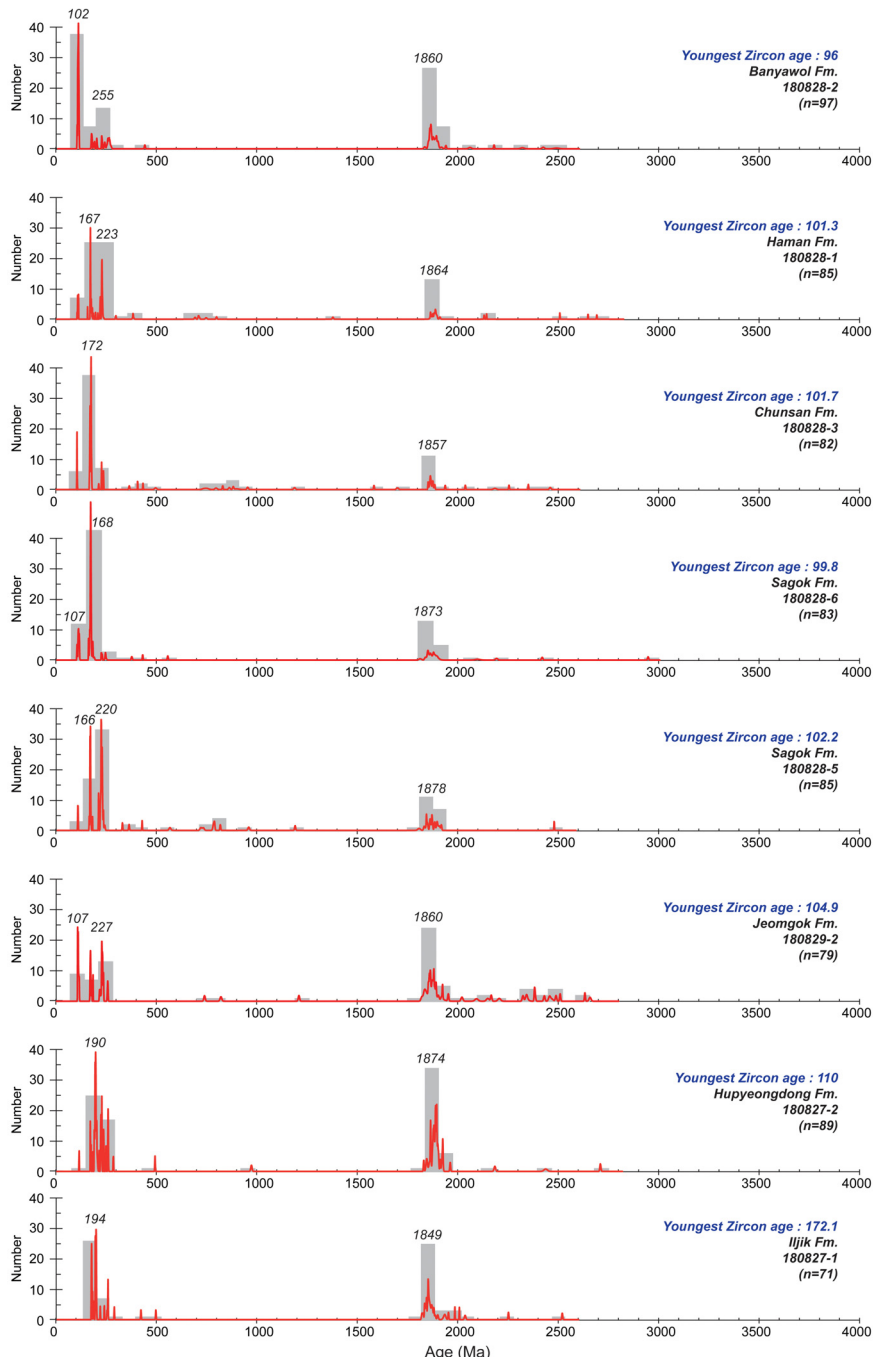


Fig. 2. Probability-density plots of the Hayang Group sandstones in the Euiseong subbasin.

장 짚은 저어콘 입자의 생성 시기를 통해 각 퇴적층의 최대퇴적시기를 추정할 수 있다(Dickinson and Gehrels, 2009). 하양층군의 하부층인 신동층군 진주층의 최대퇴적시기가 약 106 Ma (Lee *et al.*, 2010)라는 점과 하부층의 최대퇴적시기 보다 오래된 최대퇴적시기는 큰 의미 없다는 점을 고려하면, 이 연구에서 분석한 각 사암 시료에서 의미 있는 최대 퇴적 시기를 알 수 있는 시료는 점곡층(180829-2; 104.9 Ma), 사곡층(180828-6; 99.8 Ma), 반야월층(180828-2; 96 Ma)이다. 이 최대퇴적시기는 하양층군의 퇴적시기에 대한 기존 연구(Choi, 1985, 1987; Seo, 1985)에서 지시하는 하양층군의 퇴적시기인 Aptian-Albian과 잘 일치한다. 안타깝게도 일직층에서 백악기에 생성된 저어콘이 발견되지 않았기 때문에, 의성소분지가 열린 시기에 대해서는 제한하기 어렵게 되었다.

점곡층의 최대퇴적시기인 105 Ma는 기존 연구(Lee *et al.*, 2018)에서 제시한 밀양소분지 함안층의 최대 퇴적시기인 106 Ma와 유사하며, 함안층을 점곡층과 사곡층에 대비하는 기존 연구(Choi, 1986)와도 잘 일치하는 결과이다. 단, 퇴적층의 최대퇴적시기는 그 퇴적층이 퇴적되었을 가능성 있는 가장 오래된 시기를 뜻하는 것이기 때문에 이 결과 자체가 두 층이 같은 시기에 퇴적되었다는 증거가 되지는 않는다.

사곡층의 최대퇴적시기인 100 Ma와 반야월층의 최대퇴적시기인 96 Ma는 구산동옹회암의 분출시기와 비교해 볼 수 있다. 구산동옹회암은 사곡층의 상부이자 춘산층 및 반야월층과 대비되는 진동층의 하부에 놓이며(Chang, 1977, 1988; Choi, 1986), 약 97 Ma에 분출한 것으로 알려져 있다(Jwa *et al.*, 2009). 또한 구산동옹회암의 분출 시기는 다른 기존 연구들에 의해 약 114 Ma (Chang *et al.*, 1998) 또는 103 Ma (Kim *et al.*, 2013)로 제안되기도 하였는데, 이 연구 결과는 구산동옹회암이 97 Ma에 분출한 경우와 모순되지 않으며, 이때 사곡층의 퇴적시기는 약 100~97 Ma라고 제한할 수 있게 된다.

## 5.2 의성소분지의 기원지 변화와 지구조적 의의

이 연구에서 분석한 의성소분지와 밀양소분지 사암에 함유된 저어콘의 생성 시기는 주로 고원생대-시생대, 쥬라기, 백악기, 트라이아스기이며, 비교적 소규모로 고생대, 신원생대, 중원생대 또한 존재한다. 고원생대-시생대 기반암과 쥬라기, 백악기, 트라이아스기에는 저어콘 입자와 함께 퇴적층의 퇴적시기와 비슷한 나이의 저어콘 입자가 포함되어 있다.

이아스기에 생성된 화성암은 영남육괴에서 흔히 볼 수 있으며(KIGAM, 1995; Choi *et al.*, 2016), 고생대, 신원생대, 중원생대에 생성된 화성암은 영남육괴에는 흔하지 않으나, 옥천대의 (변성)퇴적암 내에 존재하는 것이 알려져 있다(Park *et al.*, 2011; Cho *et al.*, 2013; Lee *et al.*, 2016; Jang *et al.*, 2018). 이 시기의 저어콘 입자들이 비교적 적게 존재하는 점으로 보아, 옥천대의 변성퇴적암이나 그에 대비되는 암석은 비교적 소규모로 윤회되어 의성소분지에 유입되었을 것으로 생각된다.

이 연구에서 분석한 의성소분지 하양층군 쇄설성 저어콘 입자 중의 대부분을 차지하는 고원생대-시생대, 쥬라기, 백악기, 트라이아스기 저어콘의 비중은 상술한 바와 같이 층서에 따라 변화한다. 전반적으로는 층서 상 상부로 가면서 전기 쥬라기 저어콘의 감소하고 중기 쥬라기 저어콘의 비중이 증가하며, 고원생대-시생대 저어콘의 비중은 감소하는 경향을 보인다(표 4). 그리고 후평동층, 점곡층, 사곡층이 퇴적되는 동안 후기 트라이아스기 저어콘의 공급이 증가했다가 감소하는데, 사곡층 시료 중 180828-5에서 후기 트라이아스기 저어콘의 비중이 가장 높다. 쥬라기 화강암은 영남육괴를 비롯한 한반도에 널리 분포하며, 하양층군의 북부 경계부에 전기 쥬라기 화강암이, 그보다 북쪽에 중기 쥬라기 화강암이 분포한다 (Kee *et al.*, 2010). 따라서 상부로 갈수록 중기 쥬라기의 저어콘이 증가하는 것은 의성소분지의 배수유역이 확장되면서 중기 쥬라기 화강암으로부터의 퇴적물 공급이 증가하는 것으로 해석할 수 있다.

후기 트라이아스기 저어콘은 이를 공급할 수 있는 후기 트라이아스기 화강암이 경상분지 서쪽 영남육괴에 분포(Kim *et al.*, 2011 and references therein)하고 있기 때문에 후기 트라이아스기 저어콘은 영남육괴 서부로부터 공급되었을 가능성이 있다. 그러나, 의성소분지의 고수류 측정 결과(Chough and Sohn, 2010 and references therein)에 따르면, 하양층군 퇴적물은 초기에는 기원지인 영남육괴로부터 남쪽 또는 남동쪽으로 공급되지만 후기에는 북동쪽으로부터 공급되는 것으로 나타난다. 따라서 의성소분지의 북동쪽에 트라이아스기 저어콘을 공급할 수 있는 암석을 찾아보면, 현재 지표에 노출된 암체 중 가장 큰 영덕화강암이 있으며, 영덕화강암은 하양층군의 퇴적 당시 고지대를 형성하고 의성소분지의 북부인

**Table 4.** Summary for detrital zircon age distribution (discordance < 15%) of the Hayang Group in the Euisong and northern Milyang subbasins.

Age	Ijjik Fm. (180827-1)	Hupyeongdong Fm. (180827-2)	Jeomgok Fm. (180829-2)	Sagok Fm. (180828-5)	Sagok Fm. (180828-6)	Sagok Fm. (total)	Chunsan Fm. (180828-3)	Haman Fm. (180828-1)	Banyawol Fm. (180828-2)			
	range	(%)	range	(%)	range	(%)	range	(%)	range	(%)	range	(%)
Late Cretaceous (100.5 ~ 66.0)					99.8		99.8	1%			99.9-96.0	12%
Early Cretaceous (145.0 ~ 100.5)	110	1%	109.9-104.9	11%	104.6-102.2	4%	111.9-100.6	13%	111.9-100.6	8%	104.1-101.7	7%
Cretaceous (145.0 ~ 66.0)	110	1%	109.9-104.9	11%	104.6-102.2	4%	111.9-99.8	14%	111.9-99.8	9%	104.1-101.7	7%
Late Jurassic (163.5 ~ 145.0)					163.1-160.0	2%	163.5-157.7	5%	163.5-157.7	4%	152.7	
Middle Jurassic (174.1 ~ 163.5)	173-169.4	11%	178.6-165.2	3%	171.6-167.0	6%	169.5-163.9	16%	171.3-163.6	41%	171.3-163.6	29%
Early Jurassic (201.3 ~ 174.1)	196.4-176.8	27%	199.6-178.6	24%	181.8-175.2	3%	176.3	1%	184.9-176.3	5%	184.9-176.3	3%
Jurassic (201.3 ~ 145.0)	196.4-169.4	38%	199.6-165.2	27%	181.8-167.0	9%	176.3-160.0	20%	184.9-157.7	51%	184.9-157.7	35%
Late Triassic (237 ~ 201.3)	234.7-214.6	3%	232-209.1	12%	234.0-214.8	14%	230.9-206.3	38%	225.2-221.2	2%	230.9-206.3	20%
Middle Triassic (247.2 ~ 237)	244.2-242.2				237.7	1%	242.6-241.7	2%	242.6-237.7	2%	244.5	
Early Triassic (251.9 ~ 247.2)	248.4	1%									249.7-249.1	2%
Triassic (251.9 ~ 201.3)	248.4-214.6	4%	244.2-209.1	15%	234.0-214.8	14%	237.7-206.3	39%	242.6-221.2	5%	242.6-206.3	22%
Permian (298.9 ~ 251.9)			279.4-252.6	6%	255.7-253.7	3%					292.2	1%
Carboniferous (358.9 ~ 298.9)					326.6	1%			326.6	1%		
Devonian (419.2 ~ 358.9)	417.5	1%			359.7	1%	372.6	1%	372.6-359.7	1%	403.6-362.2	2%
Silurian (443.8 ~ 419.2)					425.1	1%	426.8	1%	426.8-425.1	1%	430.3	1%
Ordovician (485.4 ~ 443.8)											433.6	1%
Cambrian (541.0 ~ 485.4)	491.7	1%	485.7	1%					493	1%		
Paleozoic (541.0 ~ 251.9)	491.7-417.5	3%	485.7-252.6	7%	255.7-253.7	3%	425.1-326.6	4%	426.8-372.6	2%	426.8-326.6	3%
Neoproterozoic (1000 ~ 541)			962.8	1%	818.5-736.9	3%	959.2-564.5	9%	551.6	1%	959.2-551.6	5%
Mesoproterozoic (1600 ~ 1000)			1207	1%	1192	1%			1191	1%	1578-1183	2%
Paleoproterozoic & Archean (~ 1600)	2517-1818	49%	2690-1844	49%	2631-1859	59%	2490-1878	24%	2941-1877	27%	2941-1877	25%
	2517-1818	49%	2690-1844	49%	2631-1859	59%	2490-1878	24%	2941-1877	27%	2453-1694	22%
											2666-1857	22%
											2485-1852	39%

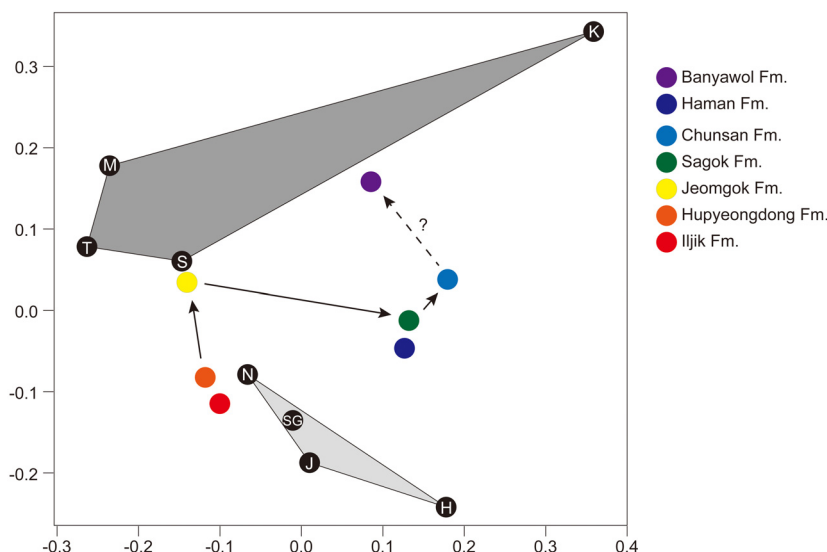
영양소분지로 퇴적물을 공급하였던 것으로 추정되었다(Lee, 2009). 그러나 영덕화강암은 전기 트라이아스기인 약 253~247 Ma에 생성(Yi et al., 2012; Kang et al., 2018)되었기 때문에 후기 트라이아스기 저어콘의 기원암으로는 볼 수 없다. 또한 영덕화강암 인근에 분포하는 다른 트라이아스기 화강암으로 홍색화강암(Kang et al., 2018)이나 청송화강암(Cheong and Kim, 2012)이 존재하나 각각 약 242 Ma, 약 203 Ma에 생성되었기 때문에 함안층의 일부 저어콘을 제외한 의성소분지 하양층군 사암에 함유된 트라이아스기 저어콘들의 기원지로 보기에는 오래되거나 젊다. 그러므로 현재 한반도에 노출된 암석 중에서 의성소분지 하양층군에 후기 트라이아스기 저어콘을 공급할 수 있는 더 적합한 기원지 후보가 존재할 가능성이 있으며, 이를 해석하기 위해서는 다른 접근이 필요하다.

영양소분지의 동화치층과 기사동층은 쳐어트 역을 함유하고 있는데, 이 쳐어트 역에서는 동아시아의 후기 쥬라기 부가복합체(accretionary complex)에 나타나는 방산층 화석이 발견되며(Kamata et al., 2000; Mitsugi et al., 2001), 이에 따라 하양층군 퇴적물의 기원지에 일본의 부가복합체가 포함되는 것으로 여겨진다. 그리고 의성소분지 후평동층의 하부

충원인 구미동충원에서도 역시 쳐어트 역이 발견되는 것으로 알려져 있다(Mitsugi et al., 2001). 따라서 이 연구에서 나타나는 저어콘 연대 분포는 일본으로부터의 퇴적물 유입 가능성을 고려하여 해석해야 한다.

이 연구의 분석 결과를 영남육괴 및 일본 중생대 퇴적물들과 MDS (multidimensional scaling; Vermeesch, 2013, 2018) 지도를 이용하여 비교하였다(그림 3). MDS는 기준에 쇄설성 저어콘 연대 분포를 통계적으로 비교하기 위해 쓰이던 방법인 K-S (Kolmogorov-Smirnoff) 테스트의 단점을 보완한 통계 분석 방법으로, 주성분분석(principal component analysis)에 기반한다(Vermeesch, 2013). MDS는 각 시료간의 유사도를 시료 간의 상대적인 거리로 변환하여 나타내며, 그렇기 때문에 어떤 시료들과 함께 비교했느냐에 따라서 같은 시료 간의 위치와 거리도 달라진다. 저어콘 연대분포가 유사한 시료일수록 가깝게 위치하며, 유사도가 떨어질수록 멀리 위치한다. 이때 MDS 지도에서 보이는 x, y 축은 각 시료들의 상대적인 좌표를 표시하는 축이며, 축 자체가 의미를 가지지는 않는다.

그림 3은 이 연구에서 분석한 의성소분지 및 밀양소분지 하양층군 사암 시료들의 쇄설성 저어콘 연대 분포를 신동층군 북부 사암시료(Choi et al., under review) 및 일본의 중생대 부가복합체 및 육상분지



**Fig. 3.** MDS (multidimensional scaling) map for detrital zircon ages of the Hayang Group in the Euiseong subbasin, northern Sindong Group (Choi et al., under review), and Japanese Mesozoic sediments (Okamoto et al., 2004; Aoki et al., 2012, 2014; Kawagoe et al., 2012; Fujisaki et al., 2014). K: Kanmon Group, M: Mino Terrane, T: Totori Group, S: Sambagawa Belt, N: Nakdong Fm., H: Hasandong Fm., J: Jinju Fm., SG: Sindong Group (total).

퇴적물(Okamoto *et al.*, 2004; Kawagoe *et al.*, 2012; Aoki *et al.*, 2012, 2014; Fujisaki *et al.*, 2014)과 비교한 MDS 지도이다. 백악기 당시 한반도와 일본에서 의성소분지에 퇴적물을 공급하였을 유역이나 그 유역 내에 노출된 암석들을 일일이 추정하기는 현실적으로 어렵다. 따라서 의성소분지 퇴적 직전까지 영남육괴로부터 퇴적물을 공급받았던 신동층군의 북부 낙동층, 하산동층, 진주층 사암의 쇄설성 저어콘 연대 분포가 영남육괴로부터의 퇴적물 공급을 대표하고, 마찬가지로 당시 일본에서 퇴적된 퇴적물들의 저어콘 연대 분포가 일본으로부터의 퇴적물 공급을 대표한다고 가정하였다.

의성소분지 하양층군 사암의 저어콘 연대 분포는 MDS 지도상에서 층서를 따라 변화를 보이는데, 점곡층을 중심으로 두 번의 큰 변화를 나타낸다(그림 3). 먼저 일직층과 후평동층은 신동층군, 그 중에서도 낙동층의 저어콘 연대 분포와 가장 유사한 것으로 나타나며, 이는 의성소분지 하양층군 퇴적 초기에는 여전히 신동층군과 같이 영남육괴로부터 주로 퇴적물을 공급받았음을 의미한다. 후평동층 퇴적 이후 쌓이는 점곡층 퇴적물의 저어콘 연대 분포는 일본 서남부에 위치한 Sambagawa Belt의 저어콘 연대분포와 가장 유사하게 나타난다. 이는 일본으로부터의 퇴적물 공급이 있었다는 기존 연구들과 잘 일치하는 결과이나, 쳐어트 역이 나타나는 후평동층 보다는 점곡층이 더 유사하게 나타난다는 점은 다르다.

점곡층 이후에 퇴적된 사곡층과 춘산층은 뚜렷하게 어느 한 곳과 유사한 것으로 나타나지 않으나, 일본의 Kanmon Basin과 신동층군 사암의 중간에 위치하여 일본과 영남육괴 양쪽으로부터 모두 퇴적물을 공급받았을 가능성을 보여준다. 그림 3에 사용된 Kanmon Basin 사암의 저어콘 연대 분포는 선캠브리아기 저어콘을 포함하지 않는 것이 특징(Aoki *et al.*, 2014)으로, 사곡층, 춘산층, 함안층 사암에서 중생대 저어콘이 고원생대 저어콘보다 많은 점이 반영되어 신동층군과 Kanmon Basin의 중간에 위치된 것으로 생각된다. 반면 반야월층은 Sambagawa Belt 와 Kanmon Basin의 중간 지점에 위치하여, 주로 이들로부터 퇴적물이 공급되었을 가능성을 보여준다. 특이한 점은 영남육괴로부터의 퇴적물 공급 정도가 퇴적환경과 연관되어 있는 듯한 모습을 보인다는 점이다. 하천-충적평야 환경인 일직층, 후평동층은 주

로 영남육괴로부터 퇴적물을 공급받았고, 사곡층, 함안층, 춘산층은 영남육괴와 일본 양쪽으로부터 퇴적물을 공급받은 반면, 호수 환경인 점곡층과 반야월층은 주로 일본으로부터 퇴적물을 공급받았다. 이로 보아 퇴적환경의 변화가 퇴적물의 기원지 변화에 어느 정도 영향을 미쳐서, 호수 환경 보다 상류인 하천-충적평야 환경이 영남육괴로부터 퇴적물을 더 많이 공급받았을 것으로 생각된다.

일본 방향에서 퇴적물이 공급되기 위해서는 경상분지 동부가 융기되어야 하며, 이 원인은 두 가지로 생각할 수 있다. 우선 일본지역의 광역적 융기에 의해 고지대가 형성되어 퇴적물 공급이 일어났을 가능성이 있다. 예전부터 후기 중생대에 동아시아대륙 경계부에 해안을 따라 산맥이 존재하였다는 가설이 존재하였다(Okada, 2000). 또한 후기 백악기에는 고태평양판의 섭입에 의하여 동아시아 대륙 경계 일대에 광역적인 융기가 일어났다는 보고들도 있다(Choi and Lee, 2011; Matthews *et al.*, 2012; Song *et al.*, 2014; Zhang *et al.*, 2015). 그러나, 일본의 부가체가 융기되었다고 알려진 시기는 약 95~80 Ma (Choi and Lee, 2011; Song *et al.*, 2014 and references therein)로 구산동응회암의 분출시기 이후이므로, 점곡층과 사곡층이 퇴적된 시기와는 맞지 않는다. 따라서 고태평양판의 섭입과 관련한 융기에 의해 점곡층과 사곡층으로 일본 퇴적물이 유입된 것은 아닐 것이다.

경상분지 동부에 고지대가 형성될 수 있는 다른 가능성은 Chough and Sohn (2010)에 의해 언급된 경상 화산호의 형성이다. 이 논문은 구산동응회암이 분출하기 전인 약 100 Ma 또는 그 이전에 경상분지 동부에 화산호가 발달하여 고지대를 이루고 있었으며, 이 고지대의 형성과 성장에 의하여 하양층군 퇴적물이 북서쪽으로부터 유입되었을 것으로 추정한다. 실제로 후평동층에서 110 Ma에 생성된 저어콘 입자가 등장한 이후 구산동응회암의 하부 퇴적층인 점곡층, 사곡층, 함안층에서 110~100 Ma에 생성된 저어콘 입자가 10% 내외로 포함된다. 구산동응회암 분출 이후 퇴적된 춘산층과 반야월층의 백악기 저어콘의 비중을 보면, 춘산층은 구산동응회암 분출 이전과 유사한 비율이나 반야월층은 전체 저어콘의 38%를 백악기 저어콘이 차지하며, 100 Ma 이후에 생성된 저어콘도 12%가 포함된다. 고수류 방향을 고려하면, 이 연구에서 나타나는 저어콘 연대분포는 경상

분지의 동부에 110~100 Ma 동안 화성활동이 있었음을 나타낸다. 그러나 반야월층을 제외한 하양충군 퇴적물들이 함유한 백악기 저어콘이 10% 내외임을 고려하면, 반야월층 퇴적 이전까지는 화산호에서 직접 화산물질이 공급되기 보다는 고지대를 형성하여 인근의 일본 퇴적물이 서쪽으로 운반 퇴적되도록 하는 역할이 더 컸던 것으로 여겨진다. 만일 그렇다면, 이 화산호는 의성소분지에 저어콘을 공급한 일본 퇴적물보다 더 해양에 가까운 곳에 위치했을 것이다. 또한 이 경우 기원지 변화는 광역적 규모로 일어났을 것으로 추정되므로, 이러한 양상을 영양소분지와 밀양소분지를 포함한 하양충군 전체의 기원지 연구를 통하여 확인할 필요가 있다.

## 6. 결 론

경상분지 하양충군의 기원지 변화를 통해 당시 한반도의 지구조환경에 대한 정보를 알아보기자 의 성소분지 하양충군 사암들과 의성소분지 경계부에 분포하는 밀양소분지 사암들의 쇄설성 저어콘 연대를 측정하였다. 8개 사암시료에서 총 800점의 저어콘 연대측정 결과 671점의 일치연대를 얻었으며, 일치 연대의 분포 범위는 2941~96 Ma이다. 사암 시료들이 함유하고 있는 저어콘은 대부분 고원생대-시생대, 트라이아스기, 주라기, 백악기에 생성되었으며, 일부 고생대, 신원생대, 중원생대 저어콘 또한 존재한다.

가장 젊은 저어콘 연령으로부터 점곡층, 사곡층, 반야월층의 최대퇴적시기를 각각 105, 100, 96 Ma로 제한할 수 있고, 이는 기존 연구 결과와 잘 일치한다. 또한, 구산동응회암과의 관계를 이용하여 사곡층의 퇴적시기를 100~97 Ma로 추정할 수 있다.

의성소분지와 밀양소분지의 쇄설성 저어콘 연대 분포를 신동충군 북부 퇴적물과 일본의 중생대 퇴적물과 비교한 결과, 시간이 지남에 따라 기원지의 변화가 있었음을 알 수 있었다. 의성소분지 하양충군 퇴적 초기에는 주로 영남육괴로부터 퇴적물이 공급되었고, 이후에는 일본으로부터도 퇴적물이 공급되었으며, 점곡층이나 밀양소분지의 반야월층과 같이 일본으로부터의 퇴적물 공급이 주를 이루는 시기도 있었다. 이는 사곡층이 퇴적되는 100 Ma 이전에 경상분지 동부에 110~100 Ma 사이에 일어난 화성활동에 기인한 고지대 형성으로 기원지의 변화가 일어-

났을 가능성을 의미한다.

## 감사의 글

이 연구는 2019년도 정부(미래창조과학부)의 재원으로 한국연구재단의 지원(NRF-2017R1C1B1007653)을 받아 수행된 기초연구사업입니다. 이 연구에서 수행된 실험은 조선대학교 에너지자원공학과 학부생 유진모, 이준혁, 양영준, 이해미의 도움을 받았습니다. 심사 중 좋은 의견을 주신 두 익명의 심사위원들께 감사드립니다.

## REFERENCES

- Aoki, K., Isozaki, Y., Kofukuda, D., Sato, T., Yamamoto, A., Maki, K., Sakata, S. and Hirata, T., 2014, Provenance diversification within an arc-trench system induced by batholith development: the Cretaceous Japan case. *Terra Nova*, 26, 139-149.
- Aoki, K., Isozaki, Y., Yamamoto, S., Maki, K., Yokoyama, T. and Hirata, T., 2012, Tectonic erosion in a Pacific-type orogen: Cretaceous tectonics in Japan. *Geology*, 40, 1087-1090.
- Chang, K.H., 1970, Geology of upper Mesozoic strata, N. Gyeongsang Province, southern Korea (I). *Journal of the Geological Society of Korea*, 6, 1-12 (in Korean with English abstract).
- Chang, K.H., 1975, Cretaceous stratigraphy of Southeast Korea. *Journal of the Geological Society of Korea*, 11, 1-23.
- Chang, K.H., 1977, Late Mesozoic stratigraphy, sedimentation and tectonics of southeastern Korea. *Journal of the Geological Society of Korea*, 13, 76-90.
- Chang, K.H., 1987, Cretaceous Strata, Chapter 6-4, In: Lee, D.-S. (Ed.), *Geology of Korea*. Seoul, Kyohak-Sa, The Geological Society of Korea, 157-201.
- Chang, K.H., 1988, Cretaceous stratigraphy and paleocurrent analysis of Kyongsang Basin, Korea. *Journal of the Geological Society of Korea*, 24, 194-205.
- Chang, K.H. and Kim, H.M., 1968, Cretaceous paleocurrent and sedimentation in northwestern part of Kyongsang basin, southern Korea. *Journal of the Geological Society of Korea*, 4, 77-97.
- Chang, K.H., Ko, I.S., Lee, J.Y. and Kim, S.W., 1977, Explanatory text of the geological map of Gusandong sheet (1:50,000). Korea Institute of Geoscience and Mineral Resources, 55 p (in Korean with English abstract).

- Chang, K.H., Koh, I.S., Park, H.I., Chi, J.M. and Kimm, H.M., 1978, Explanatory text of the geological map of Cheonji sheet (1:50,000). Korea Institute of Geoscience and Mineral Resources, 47 p (in Korean with English abstract).
- Chang, G.H., Lee, Y.J. and Park, B.G., 1981, Explanatory text of the geological map of Gunwi sheet (1:50,000). Korea Institute of Energy and Resources, 47 p (in Korean with English abstract).
- Chang, K.H., Lee, Y.J., Suzuki, K. and park, S.O., 1998, Zircon morphology, CHIME age and geological significance of Kusandong Tuff. Journal of the Geological Society of Korea, 34, 333-343.
- Cheong, C.-S. and Kim, N., 2012, Review of radiometric ages for Phanerozoic granitoids in southern Korean Peninsula. Journal of the Petrological Society of Korea, 21, 173-192.
- Cho, M., Cheong, W., Erns, W.G., Yi, K. and Kim, J., 2013, SHRIMP U-Pb ages of detrital zircons in metasedimentary rocks of the central Ongcheon fold thrust belt, Korea: Evidence for tectonic assembly of Paleozoic sedimentary protoliths. Journal of Asian Earth Sciences, 63, 234-249.
- Choi, D.K., 1985, Spores and pollen from the Gyeongsang Supergroup, southeastern Korea and their chronologic and paleoecologic implications. Journal of the Paleontological Society of Korea, 1, 33-50.
- Choi, H.I., 1986, Sedimentation and evolution of the Cretaceous Gyeongsang Basin, southeastern Korea. Journal of the Geological Society of London, 143, 29-40.
- Choi, H.I., 1999, 3. Upper Mesozoic Strata. In: Lee, J.H., Won, C.K., Kim, J.H. and Lee, C.J. (Eds.), Geology of Korea, Seoul, Sigma Press, The Geological Society of Korea, 233-273 (in Korean).
- Choi, S.J., 1987, Study on the Lower Cretaceous charophytes from the upper Gyeongsang Supergroup. Journal of the Paleontological Society of Korea, 3, 79-92.
- Choi, T. and Lee, Y.I., 2011, Thermal histories of Cretaceous basins in Korea: Implications for response of the East Asian continental margin to subduction of the Paleo-Pacific Plate. Island Arc, 20, 371-385.
- Choi, T., Lee, Y.I., Lim, H.S. and Orihashi, Y., 2019, Detrital zircon geochronology of the Cretaceous Sindong Group, Gyeongsang Basin, Korea and its implications for paleodrainage changes. Episodes, under review.
- Choi, T., Lee, Y.I. and Orihashi, Y., 2016, Crustal growth history of the Korean Peninsula: Constraints from detrital zircon ages in modern river sediments. Geoscience Frontiers, 7, 707-714.
- Chough, S.K. and Sohn, Y.K., 2010, Tectonic and sedimentary evolution of a Cretaceous continental arc-backarc system in the Korean peninsula: New view. Earth-Science Reviews, 101, 225-249.
- Dickinson, W.R. and Gehrels, G.E., 2009, Use of U-Pb ages of detrital zircons to infer maximum depositional ages of strata: A test against a Colorado Plateau Mesozoic database. Earth and Planetary Science Letters, 288, 115-125.
- Fujisaki, W., Isozaki, Y., Maki, K., Sakata, S., Hirata, T. and Maruyama, S., 2014, Age spectra of detrital zircon of the Jurassic clastic rocks of the Mino-Tanba AC belt in SW Japan: Constraints to the provenance of the mid-Mesozoic trench in East Asia. Journal of Asian Earth Sciences, 88, 62-73.
- Hoskin, P.W.O. and Black, L.P., 2000, Metamorphic zircon formation by solid-state recrystallization of protolith igneous zircon. Journal of Metamorphic Geology, 18, 423-439.
- Jang, Y., Kwon, S., Song, Y., Kim, S.W., Kwon, Y.K. and Yi, K., 2018, Phanerozoic polyphase orogenies recorded in the northeastern Okcheon Belt, Korea from SHRIMP U-Pb detrital zircon and K-Ar illite geochronologies. Journal of Asian Earth Sciences, 157, 198-217.
- Jeon, Y.M. and Sohn, Y.K., 2003, Sedimentary characteristics and stratigraphic implications of the Kusandong Tuff, Cretaceous Gyeongsang Basin, Korea. Geosciences Journal, 7, 53-64.
- Jwa, Y.-J., Lee, Y.I. and Orihashi, Y., 2009, Eruption age of the Kusandong Tuff in the Cretaceous Gyeongsang Basin, Korea. Geosciences Journal, 13, 276-273.
- Kamata, Y., Hisada, K. and Lee, Y.I., 2000, Late Jurassic radiolarians from pebbles of Lower Cretaceous conglomerates of the Hayang Group, southeastern Korea. Geosciences Journal, 4, 165-174.
- Kang, H.-C., Cheon, Y., Ha, S., Seo, K., Kim, J.-S., Shin, H.C. and Son, M., 2018, Geology and U-Pb age in the eastern part of Yeongdeok-gun, Gyeongsangbuk-do, Korea. Journal of the Petrological Society of Korea, 27, 153-171.
- Kawagoe, Y., Sano, S., Orihashi, Y., Obara, H., Kouchi, Y., and Otoh, S., 2012, New detrital zircon age data from the Totori Group in the Mana and Itoshiro areas of Fukui Prefecture, central Japan. Memoir of the Fukui prefectoral Dinosaur Museum, 11, 1-18.
- Kee, W.-S., Kim, S.W., Jeong, Y.-J. and Kwon, S., 2010, Characteristics of Jurassic continental arc magmatism in South Korea: Tectonic implications. The Journal of Geology, 118, 305-323.
- KIGAM (Korea Institute of Geology Mining and Materials), 1995, Geologic Map. KIGAM, Daejeon.

- Kim, B.G., Cheong, C.H., Kim, S.J. and Yang, S.Y., 1981, Explanatory text of the geological map of Dae Yul sheet (1:50,000). Korea Institute of Energy and Resources, 60 p (in Korean with English abstract).
- Kim, B.G., Lee, Y.D. and Yang, S.Y., 1977, Explanatory text of the geological map of Eui Seong sheet (1:50,000). Geological and Mineral Institute of Korea, 41 p (in Korean with English abstract).
- Kim, B.K., Lee, H.Y., Kim, S.J. and Cheong, J.G., 1988, Explanatory text of the geological map of Andong sheet (1:50,000). Korea Institute of Energy and Resources, 43 p (in Korean with English abstract).
- Kim, J.H. and Lim, J.W., 1974, Explanatory text of the geological map of Gumi sheet (1:50,000). Geological and Mineral Institute of Korea, 52 p (in Korean with English abstract).
- Kim, J.-S., Cho, H., Kim, H.-G. and Son, M., 2013, SHRIMP U-Pb zircon ages of the Gusandong (Kusandong) Tuff in the Cretaceous Gyeongsang Basin. Journal of the Petrological Society of Korea, 22, 235-249 (in Korean with English abstract).
- Kim, N.J. and Lee, H.K., 1970, Explanatory text of the geological map of Jungpyeong Dong sheet (1:50,000). Geological Survey of Korea, 41 p (in Korean with English abstract).
- Kim, S.W., Kwon, S., Koh, H.J., Yi, K., Jeong, Y.-J., and Santosh, M., 2011, Geotectonic framework of Permo-Triassic magmatism within the Korean Peninsula. Gondwana Research, 20, 865-889.
- Kim, S.W. and Park, B.S., 1970, Explanatory text of the geological map of Yongyang sheet (1:50,000). Geological Survey of Korea, 43 p (in Korean with English abstract).
- Kim, Y.G., Cha, M.S. and Ko, I.S., 1977, Explanatory text of the geological map of Nak Dong sheet (1:50,000). Geological and Mineral Institute of Korea, 47 p (in Korean with English abstract).
- Koh, I.S., 1974, Sedimentary petrology of Nakdong Group (I). Journal of the Geological Society of Korea, 10, 207-224.
- Koh, I.S., 1986, Study on the source rocks of the Nakdong Group. Journal of the Geological Society of Korea, 22, 233-256.
- Koh, I.S. and Lee, Y.T., 1993, Sedimentary petrology of Cretaceous sandstones in the southern margin of Euiseong Subbasin. Journal of the Geological Society of Korea, 29, 225-245.
- Kwon, Y.I. and Lee, I.K., 1973, Explanatory text of the geological map of Do Pyeong sheet (1:50,000). Geological and Mineral Institute of Korea, 19p (in Korean with English abstract).
- Lee, C., Ryu, I.-C. and Shinn, Y.J., 2017, U-Pb ages of detrital zircons in Lower Cretaceous non-marine successions of the Gyeongsang Basin, Northeast Asia: Implications for sediment provenance. Sedimentary Geology, 353, 125-138.
- Lee, H.G. and Hong, S.H., 1973, Explanatory text of the geological map of Cheong Song sheet (1:50,000). Geological and Mineral Institute of Korea, 42 p (in Korean with English abstract).
- Lee, J.I. and Lee, Y.I., 2003, Geochemistry and provenance of Lower Cretaceous Sindong and Hayang mudrocks, Gyeongsang Basin, southeastern Korea. Geosciences Journal, 7, 107-122.
- Lee, T.H., Park, K.-H. and Yi, K., 2018, Nature and evolution of the Cretaceous basins in the eastern margin of Eurasia: A case study of the Gyeongsang Basin, SE Korea. Journal of Asian Earth Sciences, 166, 19-31.
- Lee, Y.I., 2009, Geochemistry of shales of the upper Cretaceous Hayang Group, SE Korea: Implications for provenance and source weathering at an active continental margin. Sedimentary Geology, 215, 1-12.
- Lee, Y.I., Choi, T., Lim, H.S. and Orihashi, Y., 2010, Detrital zircon geochronology of the Cretaceous Sindong Group, Southeast Korea: Implications for depositional age and Early Cretaceous igneous activity. Island Arc, 19, 647-658.
- Lee, Y.I., Choi, T., Lim, H.S. and Orihashi, Y., 2016, Detrital zircon geochronology and Nd isotope geochemistry of the basal succession of the Taebaeksan Basin, South Korea: Implications for the Gondwana linkage of the Sino-Korean (North China) block during the Neoproterozoic-early Cambrian. Palaeogeography, Palaeoclimatology, Palaeoecology, 441, 770-786.
- Lee, Y.I. and Kim, J.Y., 2005, Provenance of the Hayang Group (Early Cretaceous) in the Yeongyang Subbasin, SE Korea and its bearing on the Cretaceous palaeogeography of SW Japan. Palaeogeography, Palaeoclimatology, Palaeoecology, 228, 278-295.
- Lee, Y.I., Yi, J. and Choi, T., 2015, Provenance analysis of Lower Cretaceous Sindong Group, Gyeongsang Basin, Korea using integrated petrography, quartz SEM-cathodoluminescence, and zircon Zr/Hf analysis. Journal of Sedimentary Research, 85, 529-543.
- Ludwig, K.R., 2008, User's manual for Isoplot 3.75: A geochronological toolkit for Microsoft Excel. Berkeley Geochronology Center Special Publication 4, 75p.
- Matthews, K.J., Seton, M. and Müller, D., 2012, A global-scale plate reorganization event at 105 - 100 Ma. Earth and Planetary Science Letters, 355-356, 283-298.
- Mitsugi, T., Ishida, K., Woo, B.-G., Chang, K.-H., Park, S.-O. and Hirano, H., 2001, Radiolarian-bearing conglomerate from the Hayang Group, the Kyongsang

- Supergroup, southeastern korea. *Journal of Asian Earth Sciences*, 19, 751-763.
- Oh, I.S. and Jeong, G.S., 1975, Explanatory text of the geological map of Gi Gae sheet (1:50,000). Geological and Mineral Institute of Korea, 53 p (in Korean with English abstract).
- Okada, H., 2000, Nature and development of Cretaceous sedimentary basins in East Asia: a review. *Geosciences Journal*, 4, 271-282.
- Okamoto, K., Shinjoe, H., Katayama, I., Terada, K., Sano, Y. and Johnson, S., 2004, SHRIMP U-Pb zircon dating of quartz-bearing eclogite from the Sanbagawa Belt, south-west Japan: implications for metamorphic evolution of subducted protolith. *Terra Nova*, 16, 81-89.
- Park, K.-H., Lee, T.-H. and Yi, K., 2011, SHRIMP U-Pb ages of detrital zircons in the Daehyangsan Quartzite of the Okcheon Metamorphic Belt, Korea. *Journal of the Geological Society of Korea*, 47, 423-431 (in Korean with English abstract).
- Seo, S.J., 1985, Lower Cretaceous geology and paleontology (charophyta) of central Gyeongsang Basin, Korea. Ph.D. Thesis, Kyungpook National University, Daegu, 177 p.
- Song, Y., Ren, J., Stepashko, A.A. and Li, J., 2014, Post-rift geodynamics of the Songliao Basin, NE China: Origin and significance of T11 (Coniacian) unconformity. *Tectonophysics*, 634, 1-18.
- Vermeesch, P., 2013, Multi-sample comparison of detrital age distributions. *Chemical Geology*, 341, 140-146.
- Vermeesch, P., 2018, IsoplotR: A free and open toolbox for geochronology. *Geoscience Frontiers*, 9, 1479-1493.
- Won, C.K., So, C.S. and Yun, S., 1980, Explanatory text of the geological map of Sinryeong sheet (1:50,000). Korea Institute of Geoscience and Mineral Resources, 46 p (in Korean with English abstract).
- Yi, K., Cheong, C.-S., Kim, J., Kim, N., Jeong, Y.-J. and Cho, M., 2012, Late Paleozoic to Early Mesozoic arc-related magmatism in southeastern Korea: SHRIMP zircon geochronology and geochemistry. *Lithos*, 153, 129-141.
- Zhang, F.-Q., Chen, H.-L., Batt, G.E., Dilek, Y., A, M.-N., Sun, M.-D., Yang, S.-F., Meng, Q.-A. and Zhao, X.-Q., 2015, Detrital zircon U-Pb geochronology and stratigraphy of the Cretaceous Sanjiang Basin in NE China: Provenance record of an abrupt tectonic switch in the mode and nature of the NE Asian continental margin evolution. *Tectonophysics*, 665, 58-78.

---

Received : August 16, 2019

Revised : October 8, 2019

Accepted : October 10, 2019